

2.5.3 その他の海域の底質及び底質中の重金属・有害化学物質

橘湾では、湾奥部から湾西部にかけて泥分が分布しており、早崎瀬戸から湾東部にかけては砂分が分布している。変動傾向を分析する期間における底質測定に係る一般項目のデータがなかった。なお、牛深町周辺の海域では、底質のデータがなかった。

また、有明海・八代海の底質中の重金属・有害化学物質に関する新たな知見は得られていないため、記載は割愛する。

2.5.4まとめ

有明海の底質は、湾奥西部及び中央東部の底質は主に泥あるいは砂混じり泥で含泥率が高く、湾口部では砂あるいは泥混じり砂が広がっている。

有明海について、2001(平成13)年頃～2020(令和2)年度の調査結果から底質の変動傾向(10年間で5%以上の変化)を整理したところ、11地点のうち、T-Nは2地点(有明海中央東部及び湾口部1地点)で増加傾向、1地点(湾央部)で減少傾向、T-Pは1地点(中央東部)で増加傾向、CODは7地点(湾奥奥部3地点、湾奥西部、中央東部、諫早湾及び湾口部1地点)で増加傾向、1地点(湾央部)で減少傾向、強熱減量は1地点(中央東部)で増加傾向、1地点(湾央部)で減少傾向、T-Sは1地点(中央東部)で増加傾向、粘土・シルト含有率は1地点(中央東部)で増加傾向、2地点(湾奥西部、湾央部)で減少傾向を示した。海域別にみると、A4海域(Akm-2)では全ての項目で増加傾向を示し、A5海域(Ang-1)では4項目で減少傾向にあった。また、CODは多くの地点で増加傾向にあった。

八代海の底質は、八代海湾奥部から湾口東部にかけてはシルト分、粘土分が卓越しており、湾口西部では粗砂から細砂分が卓越している。

八代海について、2001(平成13)年頃～2020(令和2)年度の調査結果から底質の変動傾向(10年間で5%以上の変化)を整理したところ、10地点のうち、T-Nは1地点(八代海湾奥部1地点)で増加傾向、T-Pは1地点(湾奥部1地点)で増加傾向、CODは8地点(湾奥部、球磨川河口部、湾央部、湾口東部2地点及び湾口西部1地点)で増加傾向、強熱減量は1地点(湾奥部1地点)で増加傾向、T-Sは1地点(湾奥部1地点)で増加傾向、1地点(湾口東部1地点)で減少傾向、粘土・シルト含有率は1地点(湾奥部1地点)で増加傾向、1地点(湾口東部1地点)で減少傾向を示した。海域別にみると、Y1海域のYkm-1では全ての項目で増加傾向を示し、また、CODは多くの地点で増加傾向にあった。

参考資料

- 1) 農林水産省九州農政局(2016年)「有明海漁場環境改善連絡協議会(第22回)資料5 国営干拓環境対策調査について」
- 2) 滝川清(2005)「第14回有明海・八代海総合調査評価委員会 資料-3 有明海・八代海の底質環境について」
- 3) 環境省「有明海・八代海再生フォローアップ調査」
- 4) 環境省「有明海・八代海再生重点課題対策調査」
- 5) 中田英昭(2012)「第30回有明海・八代海等総合調査評価委員会 資料-3 橘湾の海域特性について」

2.6 貧酸素水塊

2.6.1 有明海の底層溶存酸素量の状況

有明海における底層溶存酸素量の経年的傾向について、浅海定線調査(基本的に毎月1回大潮満潮前後に調査、地点は図2.6.1-1、海底上1m高さ)の結果を整理した。本調査データの年間最低値について整理したところ、データのある1972年度以降、6地点のうち、佐賀県の4地点(有明海湾奥奥部の2地点、有明海湾奥西部及び有明海湾央部)で有意に減少する傾向がみられ、その他の2地点(有明海湾奥奥部及び有明海湾奥東部)では有意な変化はみられなかった(表2.6.1-1)。

また、長崎県の1地点(有明海諫早湾)で2002年以降に行われている毎月1回大潮期の底層溶存酸素量の調査¹⁾⁻⁷⁾(諫早湾干拓事業環境モニタリング調査、地点は図2.6.1-1、海底上1m高さ)について、年間最低値を整理したところ、有意な変化はみられなかった(表2.6.1-1)。

なお、各地点における底層溶存酸素量の経年変化は資料編に記載した。

表 2.6.1-1 回帰分析結果:有明海(浅海定線調査)

		底層 溶存酸素量
A1海域 (有明海湾奥奥部)	福岡S6	+
	佐賀1	-
	佐賀10	-
A2海域 (有明海湾奥東部)	福岡L5	+
A3海域 (有明海湾奥西部)	佐賀5	--
A5海域 (有明海湾央部)	佐賀11	-
A6海域 (有明海諫早湾)	諫早湾B3	-**

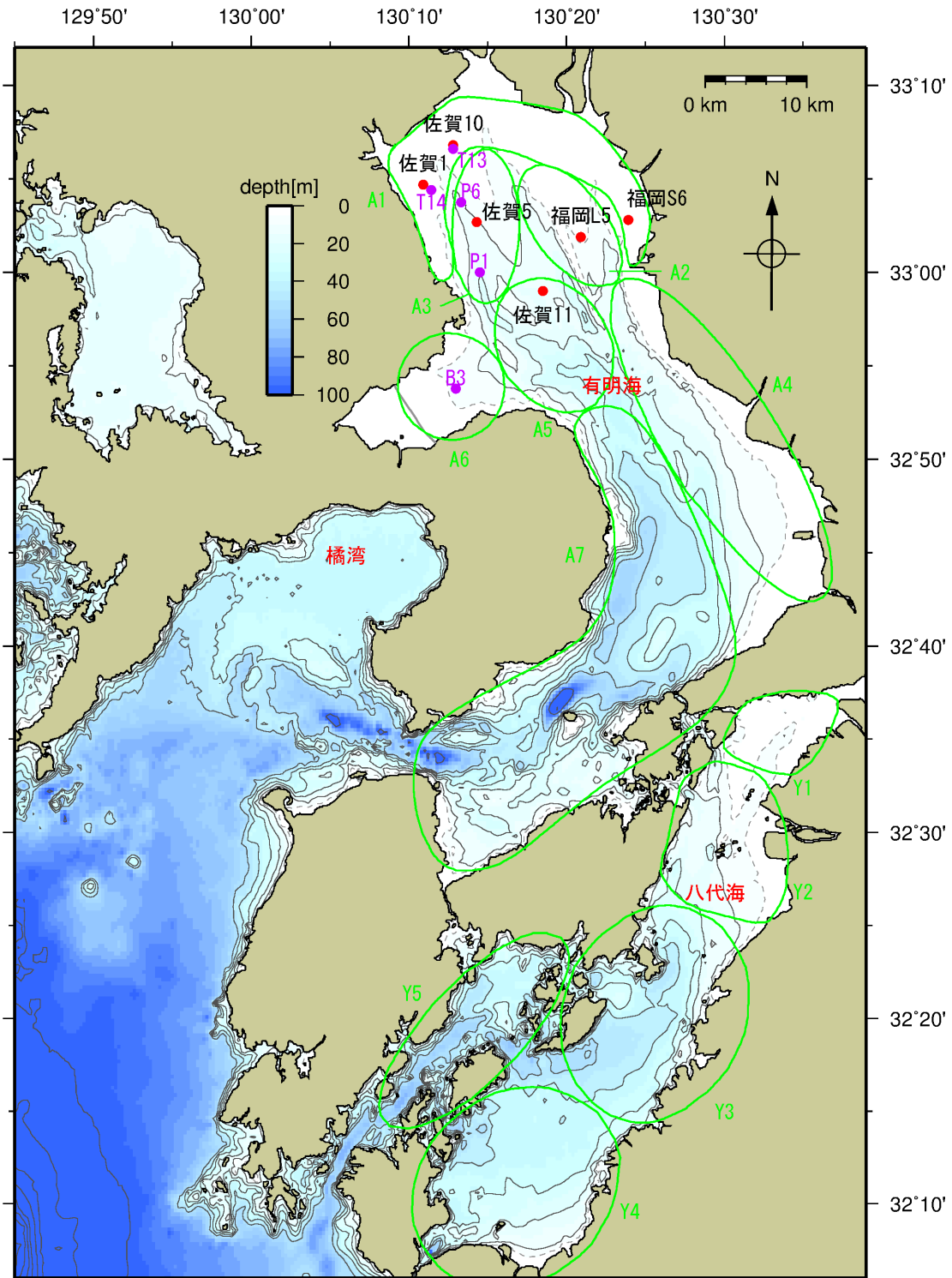
- 注)1. ■で網掛けしている項目は、有意水準5%で有意な変化傾向が認められたことを示す。
2. 近似一次回帰式の傾きが10年間あたりで全データの算術平均の10%以上の増加、減少がある場合は”++”、”--”とし、それに満たない場合は”+”、”-”とした。
3. **を付したものは2002年から現在までの期間の評価を示す。

出典:福岡県、佐賀県「浅海定線調査結果」

農林水産省九州農政局「諫早湾干拓事業環境モニタリング調査」

国立研究開発法人 水産研究・教育機構 西海区水産研究所「有明海水質連続観測調査結果」

農林水産省九州農政局「有明海貧酸素水塊広域連続観測結果[諫早湾]」をもとに環境省が作成した。



注)1. 福岡 S6、佐賀 1、佐賀 10、福岡 L5、佐賀 5 及び佐賀 11 は「浅海定線調査」の地点、B3 は「諫早湾干拓事業環境モニタリング調査」及び「有明海貧酸素水塊広域連続観測」の地点、T13、T14、P1 及び P6 は「有明海水質連続観測調査」の地点を示す。

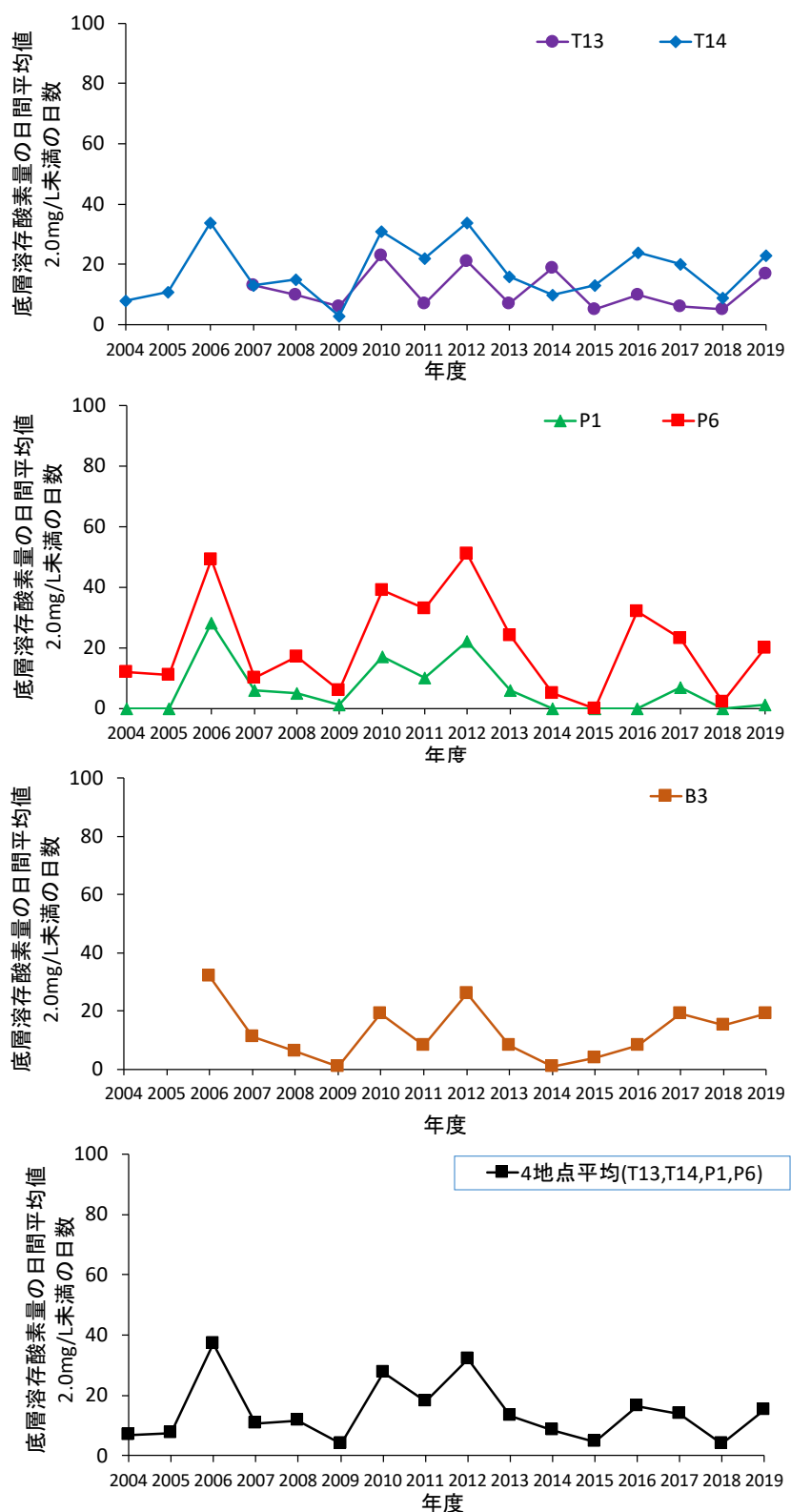
2. 図中の有明海、八代海の緑色の範囲は海域区分を示す。

A1海域…有明海湾奥奥部	A2海域…有明海湾奥東部	A3海域…有明海湾奥西部
A4海域…有明海中央東部	A5海域…有明海湾央部	A6海域…有明海諫早湾
A7海域…有明海湾口部	Y1海域…八代海湾奥部	Y2海域…球磨川河口部
Y3海域…八代海湾央部	Y4海域…八代海湾口東部	Y5海域…八代海湾口西部

図 2.6.1-1 底層溶存酸素量の結果整理を行った地点

2004 年から有明海湾奥部で実施されている「有明海水質連続観測調査」及び 2006 年から諫早湾で実施されている「有明海貧酸素水塊広域連続観測」(地点は図 2.6.1-1、海底上 0.2m 高さ)の結果を基に、底層溶存酸素量の日平均値が 2.0mg/L 未満、3.0mg/L 未満、4.0mg/L 未満の日数を整理した(図 2.6.1-2)。

各地点(4 地点:T13,T14,P1,P6)の平均でみると、日平均値が 2.0mg/L 未満の日数は過去 16 年間の平均で 14 日(最少 4 日～最多 37 日)、3.0mg/L 未満は 31 日(16 日～55 日)、4.0mg/L 未満は 53 日(34 日～69 日)であった。経年的には年変動がみられるものの、概ね横ばい傾向にある。また、2.0mg/L 未満と 3.0mg/L 未満の日数の年変動は同様な傾向を示しているが、4.0mg/L 未満については年変動が小さい傾向がみられる。

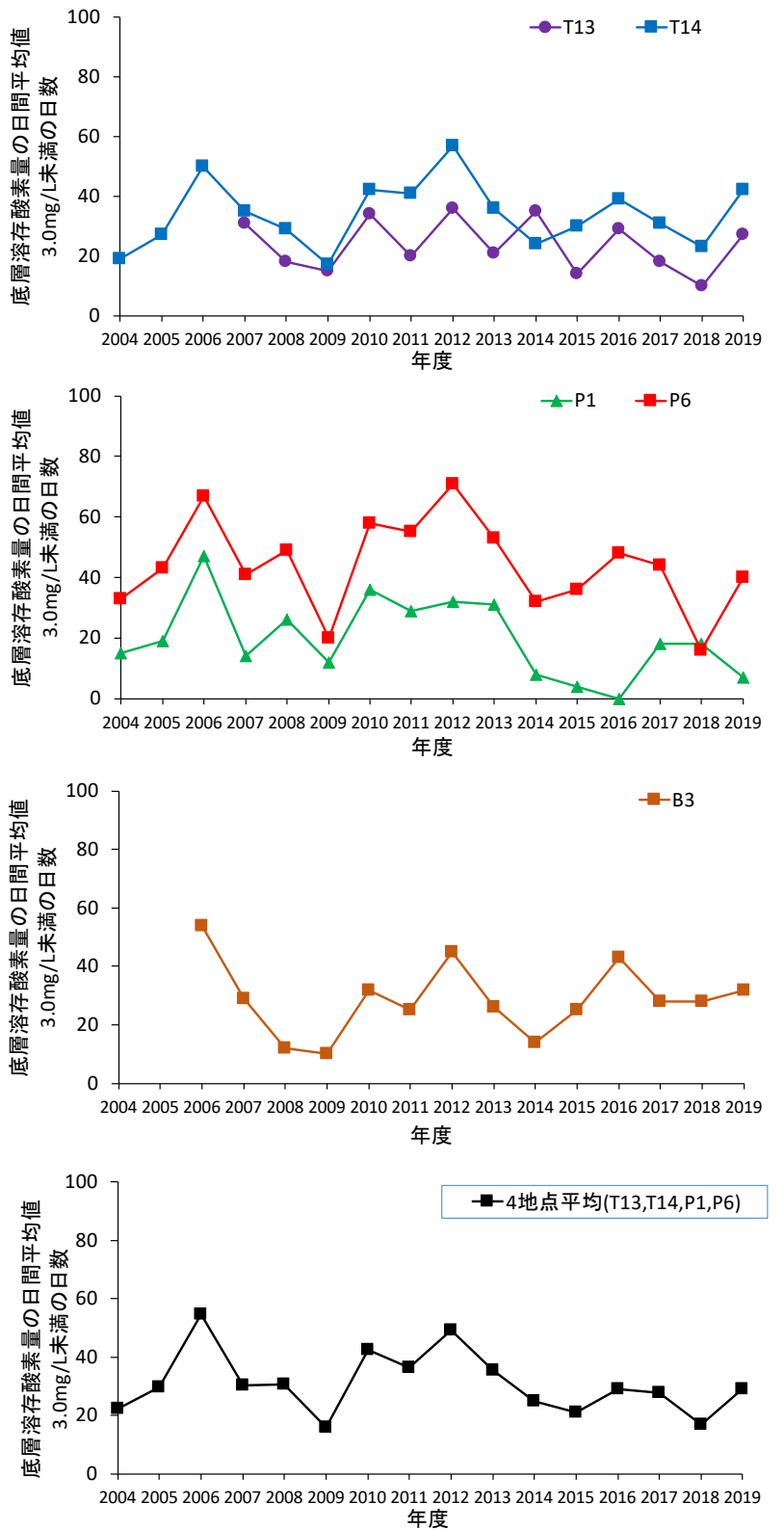


注)1.各年度、各地点の底層溶存酸素量の日平均値が2.0mg/L未満となった日数を記載している。なお、観測期間は6~9月を中心に行われており、詳細な観測日数は各年度、各地点により異なる。

2.4 地点平均(T13,T14,P1,P6)の2004年~2006年は3地点(T14,P1,P6)の平均である。

図 2.6.1-2(1) 各期間の底層溶存酸素量の日平均値(2.0mg/L未満)の状況(連続観測調査)

出典：国立研究開発法人 水産研究・教育機構 西海区水産研究所「有明海水質連続観測調査結果」及び農林水産省九州農政局「有明海貧酸素水塊広域連続観測結果[諫早湾]」をもとに環境省が作成した。

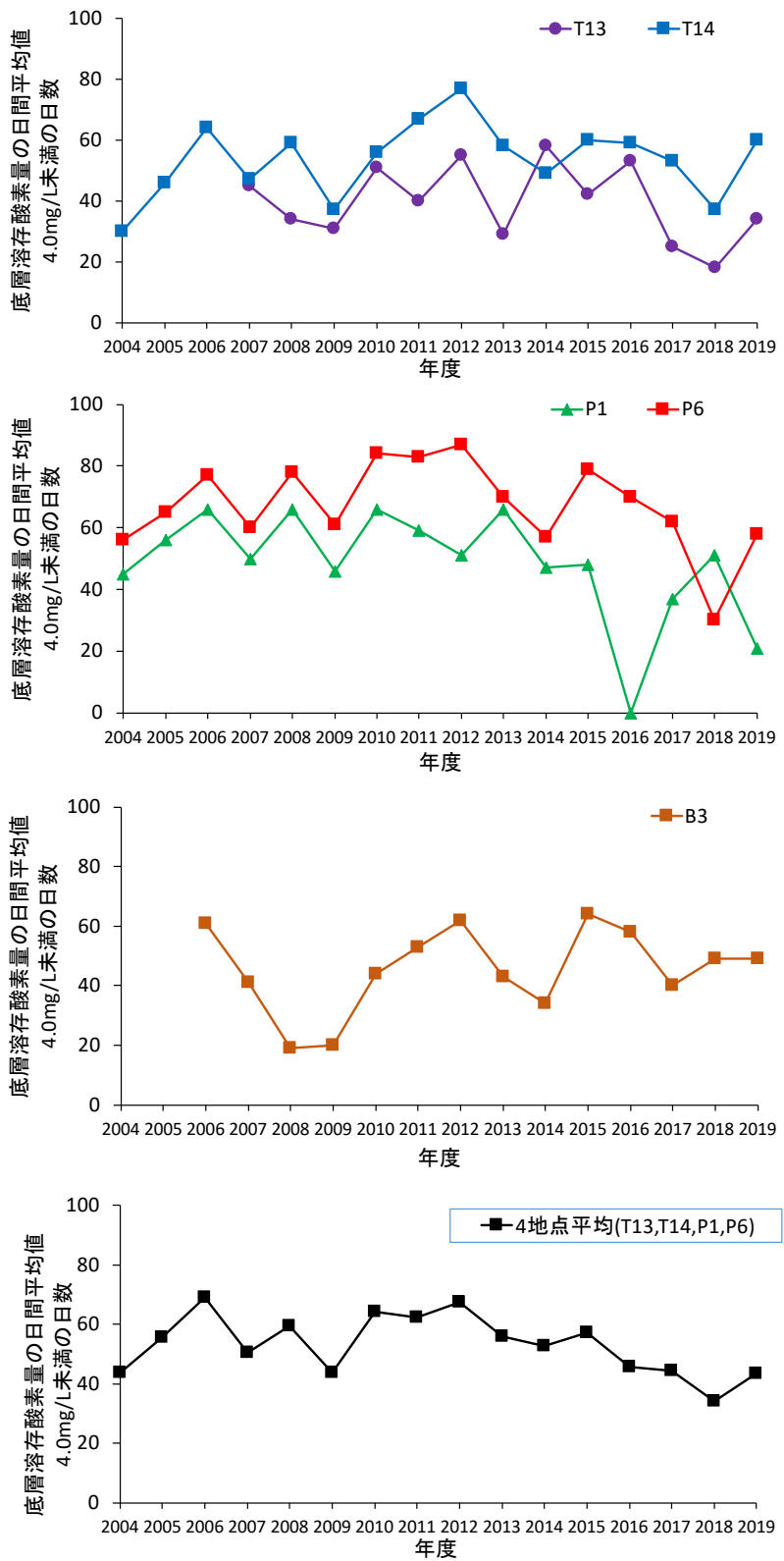


注)1.各年度、各地点の底層溶存酸素量の日平均値が3.0mg/L未満となった日数を記載している。なお、観測期間は6~9月を中心に行われており、詳細な観測日数は各年度、各地点により異なる。

2.4 地点平均(T13,T14,P1,P6)の2004年~2006年は、3地点(T14,P1,P6)の平均である。

図 2.6.1-2(2) 各期間の底層溶存酸素量の日平均値(3.0mg/L未満)の状況(連続観測調査)

出典: 国立研究開発法人 水産研究・教育機構 西海区水産研究所「有明海水質連続観測調査結果」及び農林水産省九州農政局「有明海貧酸素水塊広域連続観測結果[諫早湾]」をもとに環境省が作成した。



注)1.各年度、各地点の底層溶存酸素量の日平均値が4.0mg/L未満となった日数を記載している。なお、観測期間は6~9月を中心に行われており、詳細な観測日数は各年度、各地点により異なる。
2.4地点平均(T13,T14,P1,P6)の2004年~2006年は、3地点(T14,P1,P6)の平均である。

図 2.6.1-2(3)各期間の底層溶存酸素量の日平均値(4.0mg/L未満)の状況(連続観測調査)

出典: 国立研究開発法人 水産研究・教育機構 西海区水産研究所「有明海水質連続観測調査結果」及び農林水産省九州農政局「有明海貧酸素水塊広域連続観測結果[諫早湾]」をもとに環境省が作成した。

2.6.2 貧酸素水塊の発生状況

平成 28 年度委員報告以降も、有明海においては、毎年夏期の小潮期を中心に有明海奥部と諫早湾の 2 箇所で貧酸素水塊が別々に発生している。特に、九州北部地方で豪雨が記録された 2020(令和 2)年には、1990 年～2019 年の 30 年間における 7 月の平均値の約 3 倍の降水量に伴い、7 月から 8 月にかけての 1 ヶ月程度の長期間にわたって表層塩分は低下し、大規模な貧酸素水塊が発生した。この期間中の 7 月 29 日と 31 日における表層塩分と底層溶存酸素濃度の分布を図 2.6.2-2 に示す。

平成 28 年度委員会報告において、有明海奥部における貧酸素水塊発生の模式図が示された(図 2.6.2-1)。その後、詳細な観測結果の解析の結果、半日スケールでの底層溶存酸素の変動幅(干潮と満潮の差)は干潟縁辺域が大きく、沖合域は小さいことから干潟縁辺域においては底層水の移流が大きく、沖合域は小さい(徳永ら, 2009)と推察された。また、水深 5m 程度の干潟縁辺域(A1 海域)と水深 15m 程度の沖合域(A3 海域)では貧酸素状態の継続時間等は大きく異なること(徳永ら 2009)、有明海奥部の底層溶存酸素濃度の短期変動及び経年変動を明らかにするため、干潟縁辺域と沖合域とに区分して整理した。

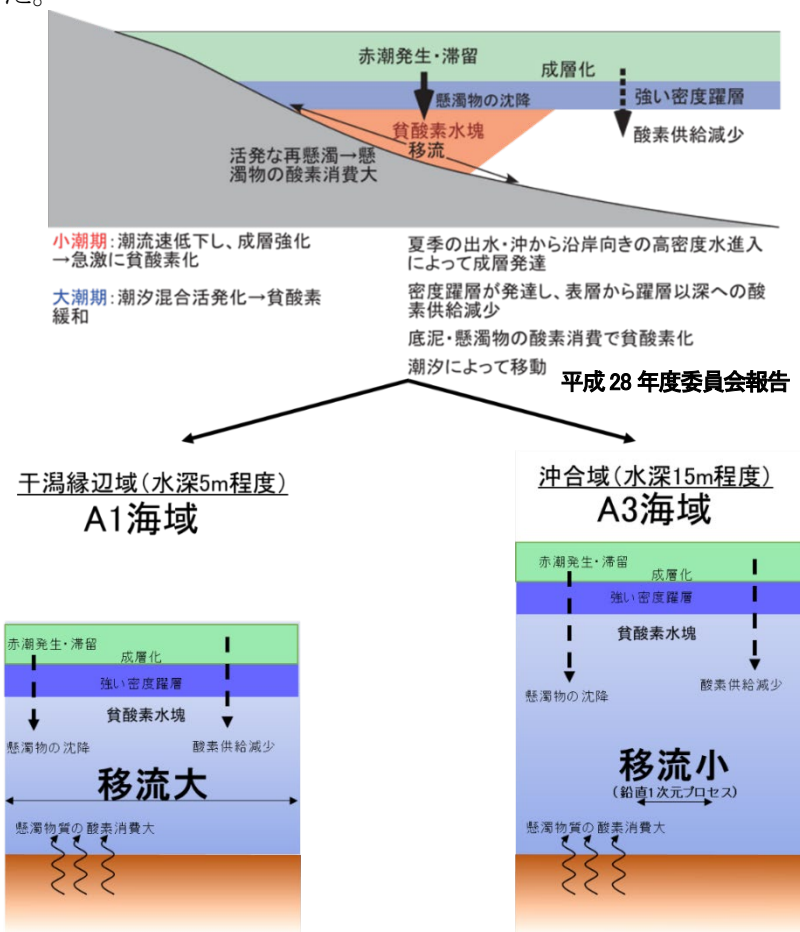


図 2.6.2-1 有明海湾奥部における貧酸素水塊発生の模式図

出典：(上図)有明海・八代海等総合調査評価委員会(2017)「有明海・八代海等総合調査評価委員会報告」
(下図)環境省(2020)「有明海・八代海等総合調査評価委員会 第5回水産資源再生方策検討作業小委員会資料」

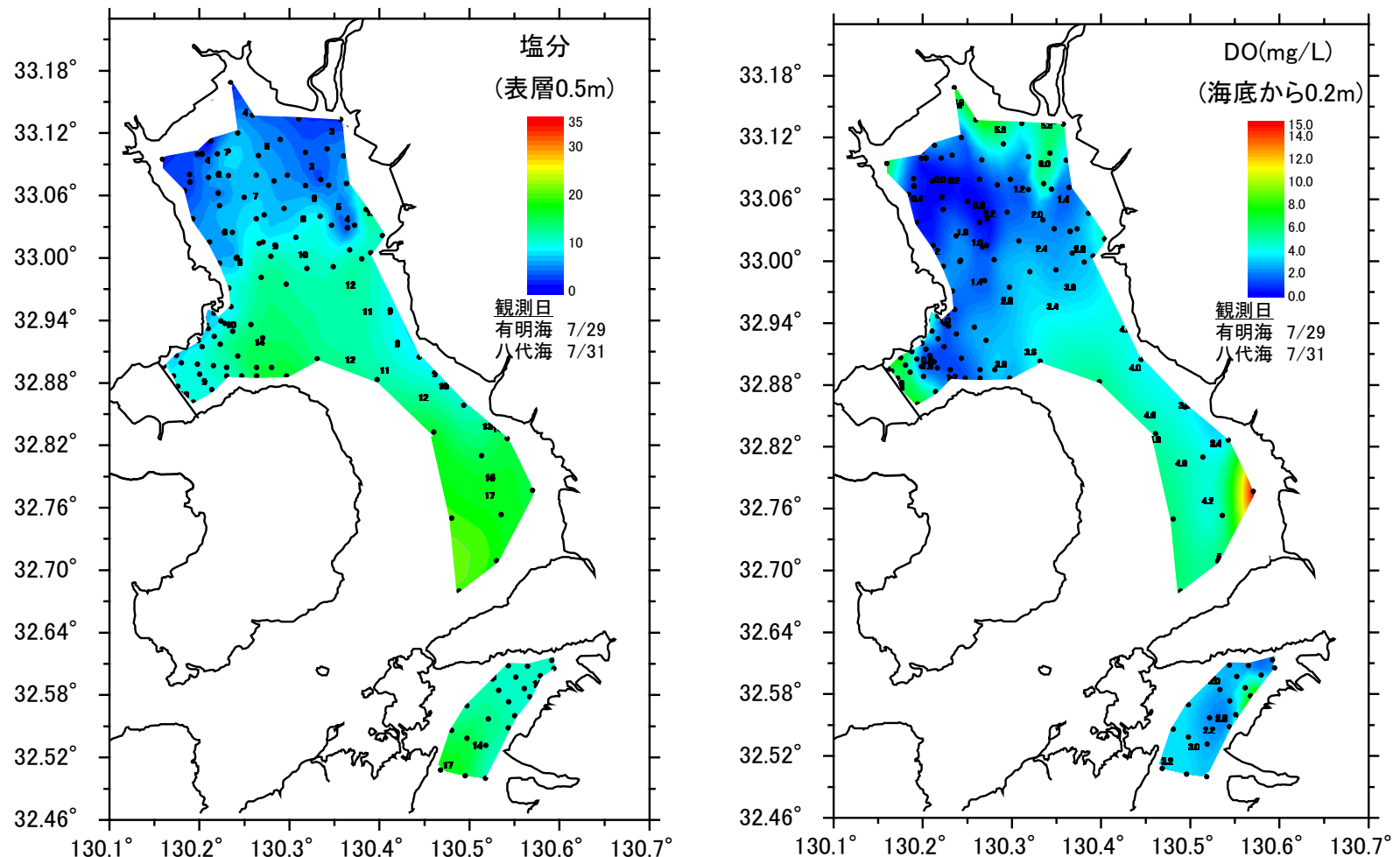


図 2.6.2-2 有明海及び八代海における表層塩分と底層溶存酸素濃度の分布(有明海:2020年7月29日、八代海7月31日)

出典:水産技術研究所、農林水産省九州農政局、福岡県水産海洋技術センター有明海研究所、佐賀県有明水産振興センター、長崎県総合水産試験場、長崎県県南水産業普及指導センター、熊本県水産研究センター、九州大学、佐賀大学、日本ミクニヤ株式会社による共同一斉観測

2.6.3 貧酸素に関わる酸素消費特性

平成 28 年度委員会報告では、有明海奥部の場合、底泥に比べ海水による酸素消費の寄与が大きく、海水による酸素消費のうちでは、懸濁物質による酸素消費が大きいことが報告されている。その後、徳永ら(2016)は有明海奥部の 2 定点における底層水の生物学的酸素消費と化学的酸素消費の寄与率を現場実験により算出し、観測点によつて酸素消費過程が大きく異なることを示した。また、内野ら(2019)は、貧酸素水塊形成時における全酸素消費に対する DOC(溶存態有機炭素) の分解の寄与は全体の約 2.1-4.4%を占めていたことを報告している。さらに、渦鞭毛藻 *Akashiwo sanguinea* の日周鉛直移動に伴う夜間の底層での呼吸は、有明海で観測される赤潮密度で推定すると、懸濁物及び堆積物に起因する酸素消費とともに貧酸素化へ寄与する可能性が高いことが示されるなど(徳永ら, 2021)、貧酸素を引き起こす生物学的酸素消費と化学的酸素消費は多様であることが判明している。

2.6.4 貧酸素の経年変化特性

有明海奥部では、平成 28 年度委員会報告以降も毎年貧酸素水塊が発生してベントス群集に影響を及ぼしている。継続的な貧酸素モニタリング結果を用いて貧酸素の経年変化要因を物理的な観点から解析し、干潟縁辺域(T-13:A1 海域)と沖合域(P6:A3 海域)のそれぞれについて貧酸素と潮流との関係を検討した。干潟縁辺域と沖合域における夏季(7 月～9 月)の底層溶存酸素濃度 3mg/L 未満(タイラギ稚貝の生残に影響する溶存酸素濃度、Nagase et al. 2020)の累積時間と底層流速から評価した M_2 潮の潮流振幅の 3 乗との関係を図 2.6.4-1 と図 2.6.4-2 に示す。ここで、海底摩擦による鉛直混合を表す指標として、海底から 0.2m 高さの M_2 潮の潮流振幅の 3 乗を採用した。干潟縁辺域及び沖合域のいずれも相関関係が見られ、 M_2 潮の潮流振幅の 3 乗が大きければ、鉛直混合が大きく密度成層は形成しにくく(徳永ら, 2013)、底層溶存酸素濃度 3mg/L 未満の累積時間は小さくなることが示唆された。逆に、 M_2 潮の潮流振幅の 3 乗が小さければ、鉛直混合が小さく密度成層は形成しやすく、底層溶存酸素濃度 3mg/L 未満の累積時間は大きくなることが示唆された。ただし、底層溶存酸素の変動は、河川からの淡水供給、干潟縁辺域における密度成層の形成、潮流振幅の変化(徳永ら, 2013)等が影響しており、貧酸素化のプロセスは完全に説明できないため、今後定量的な評価に関する調査研究が必要である。

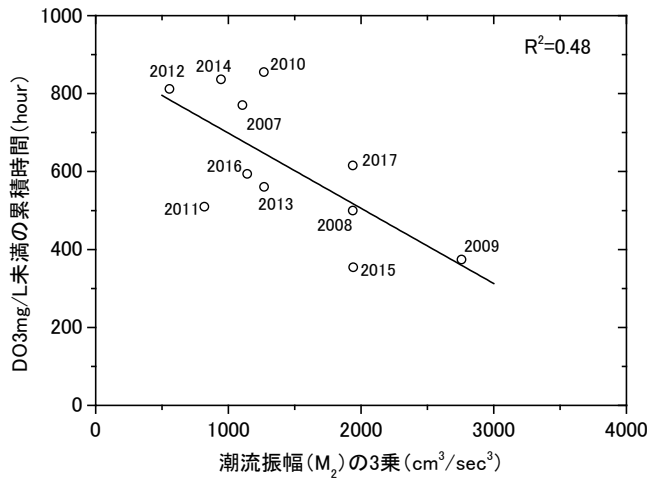


図 2.6.4-1 干潟縁辺域(T13)における底層潮流振幅の3乗と7月～9月におけるDO3mg/L未満の累積時間との関係

出典:平成29年度水産庁委託「赤潮・貧酸素水塊対策推進事業(九州海域での有害赤潮・貧酸素水塊発生機構解明と予察・被害防止等技術開発報告書)」をもとに環境省が作成した

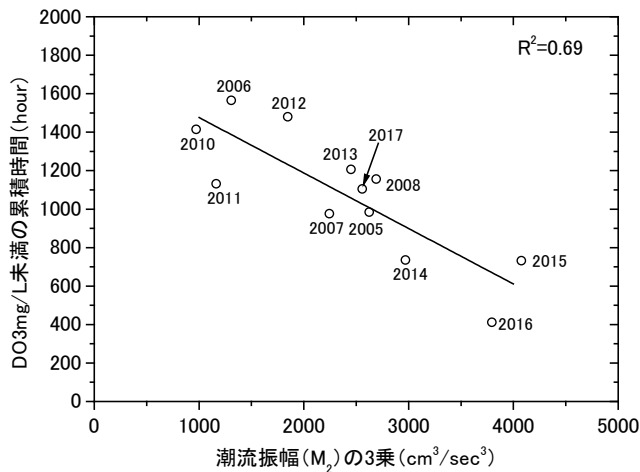
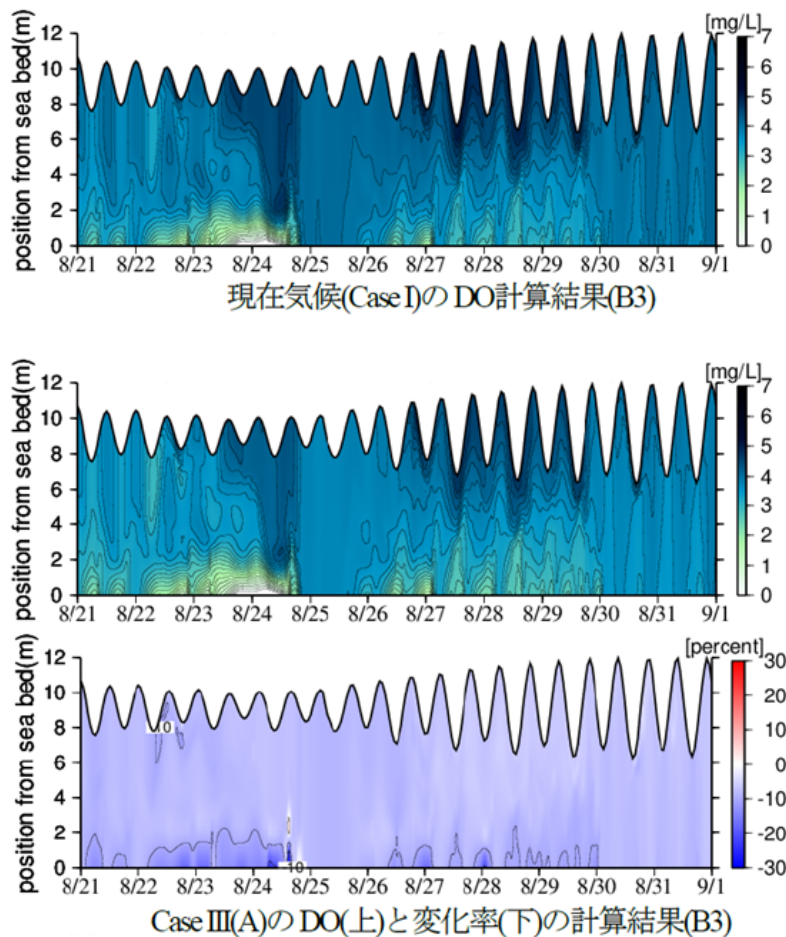


図 2.6.4-2 沖合域(P6)における底層潮流振幅の3乗と7月～9月におけるDO3mg/L未満の累積時間との関係

出典:平成29年度水産庁委託「赤潮・貧酸素水塊対策推進事業(九州海域での有害赤潮・貧酸素水塊発生機構解明と予察・被害防止等技術開発報告書)」をもとに環境省が作成した

2.6.5 気候変動が底層溶存酸素濃度に与える影響

田所・矢野(2019)は、有明海を対象として準3次元流動モデルと3次元低次生態系モデルにより疑似温暖化実験を行い、気候変動による溶存酸素濃度分布への影響評価を試みた⁹⁾。その結果、温暖化により気温上昇が進んだ場合、底層の貧酸素水塊の発達が助長されることが示唆されている(図 2.6.5-1)。ただし、本モデルでは底質の違いや巻き上げられた懸濁物による酸素消費は考慮されておらず、今後さらなる検討が必要と考えられる。



項目	Case I (現在気候)	Case III(A) (気温上昇が進んだ場合)
計算条件	諫早湾のB3地点における2015年8月21日から9月1日までを対象にDO濃度の数値シミュレーションを実施	
気温	同時期の気温データを使用	Case I の気温に一律4°Cを加えた
河川水温	同時期の河川水温データを使用	Case I で得られた気温と河川水温との相関式から、気温が4°C上昇した場合の河川水温の上昇幅を求め、これをCase I の河川水温に加えた
外海水温	同時期の外海水温データを使用	上記で得られた河川水温の上昇幅の平均値をCase I の外海水温に加えた

図 2.6.5-1 疑似温暖化実験によるDOとその変化率の計算結果

出典:田所壮也, 矢野真一郎(2019):気候変動による温度や河川流量の変化が与える有明海の貧酸素水塊の消長への影響の評価, 土木工学会論文集B2(海岸工学), Vol.75, No. 2, pp. 1231-1236をもとに環境省が作成した。

2.6.6 まとめ

有明海の浅海定線調査(基本的に毎月 1 回大潮満潮前後に調査)によると、データのある 1972 年度以降、6 地点のうち佐賀県の 4 地点(有明海湾奥奥部の 2 地点、有明海湾奥西部及び有明海湾央部)において、底層溶存酸素量は経年に有意に減少する傾向がみられた。

有明海では、毎年夏季の小潮期を中心に有明海奥部と諫早湾の 2 箇所で貧酸素水塊が別々に発生している。特に九州北部地方で豪雨が記録された 2020 年には、1 ヶ月程度の長期間にわたって表層塩分は低下し、大規模な貧酸素水塊が発生した。

平成 28 年度委員会報告では、有明海奥部の場合、底泥に比べ海水による酸素消費の寄与が大きく、海水による酸素消費のうちでは、懸濁物質による酸素消費が大きいことが報告されている。その後、酸素消費には、DOC の分解や、渦鞭毛層の呼吸も貧酸素化に一定の寄与がある可能性が示されており(内野ら(2019)、徳永ら(2021))、貧酸素を引き起こす生物学的酸素消費と化学的酸素消費は多様であることが判明している。

有明海奥部の干潟縁辺域とその沖合域では、貧酸素の状況を示す夏季の底層溶存酸素濃度 3mg/L 未満(タイラギ稚貝の生残に影響する溶存酸素濃度、Nagasoe et al. 2020)の累積時間と、潮流の状況を示す底層流速から評価した M2 潮の潮流振幅の 3 乗との間には有意な相関が見られ、潮流振幅と貧酸素水塊の累積時間に関係があることが示唆された。ただし、底層溶存酸素の変動は、河川からの淡水供給、干潟縁辺域における密度成層の形成、潮流振幅の変化(徳永ら, 2013)等が影響しており、貧酸素化のプロセスは完全に説明できないため、今後定量的な評価に関する調査研究が必要である。

田所・矢野(2019)は、有明海を対象とした疑似温暖化実験で、温暖化により気温上昇が進んだ場合、底層の貧酸素水塊の発達が助長されることが示唆されている。ただし、本モデルでは底質の違いや巻き上げられた懸濁物による酸素消費は考慮されておらず、今後さらなる検討が必要と考えられる。

参考文献

- 1) 農林水産省九州農政局「諫早湾干拓事業環境モニタリング調査」
- 2) 児玉真史, 徳永貴久, 木元克則, 柴原芳一(2009) : 夏季の有明海奥部における基礎生産速度と有機懸濁物質の分解特性, 土木学会論文集B2(海岸工学), Vol. B2-65, pp.1006-1010
- 3) 徳永貴久, 児玉真史, 木元克則, 柴原芳一(2009) : 有明海湾奥西部海域における貧酸素水塊の形成特性, 土木学会論文集B2(海岸工学), Vol. B2-65, No.1, pp. 1011-1015
- 4) 徳永貴久, 速水祐一, 木元克則(2016) : 有明海奥部の2定点における底層水の生物学的酸素消費と化学的酸素消費, 土木学会論文集B2(海岸工学), Vol. 72, No.1, pp.12-21
- 5) 内野宏治, 猪股はるか, 田原沙紀, 高巣裕之(2019) : 有明海奥部における酸素消費に対する水柱中の有機炭素分解の寄与, 水環境学会誌, 42卷, 5号, pp. 195-200
- 6) 徳永貴久, 松山幸彦, 長副聰(2021) : 涡鞭毛藻 *Akashiwo sanguinea* の日周鉛直移動に伴う底層の酸素消費, 土木学会論文集B2(海岸工学), Vol.77, No. 1, pp. 55-64
- 7) Sou Nagasoe, Takahisa Tokunaga, Tatsuya Yurimoto, and Yukihiko Matsuyama(2020) : Survival and behavior patterns associated with hypoxia at different life stages of the pen shell *Atrina cf. japonica*, Aquatic Toxicology, Vol. 227, 105610
- 8) 徳永貴久, 田井明, 木元克則(2013) : 有明海湾奥西部の干潟縁辺域におけるDO経年変動特性, 土木学会論文集B3(海洋開発), 69卷, 2号, pp. I_1018-I_1023
- 9) 田所壯也, 矢野真一郎(2019) : 気候変動による温度や河川流量の変化が与える有明海の貧酸素水塊の消長への影響の評価, 土木工学会論文集B2(海岸工学), Vol. 75, No. 2, pp. 1231-1236

2.7 藻場・干潟等

藻場・干潟は、水質浄化や生物多様性の維持(多様な生物種の保全、産卵場や成育場の提供)等多様な機能を有し、良好な水環境を維持する上で重要な役割を果たしている。特に、有明海・八代海等の泥質干潟は、国内で本海域のみに生息する固有種の生息環境として、希有な生態系を形成するとともに、我が国有数の渡り鳥の中継地又は越冬地ともなっており、シギ・チドリ類が数多く飛来する重要な場となっている。

2.7.1 有明海・八代海の藻場・干潟

環境省では、2018(平成30)年度から2019(令和元)年度において衛星画像解析手法を用いて、有明海及び八代海における藻場・干潟の最新の分布状況について定量的な把握が行われている。

衛星画像解析による有明海及び八代海における藻場・干潟分布図は図 2.7.1-1 に示すとおりであり、これらを集計した面積としては、有明海においては藻場が1,456.8ha、干潟が18,799.3ha、八代海においては藻場が2,385.0ha、干潟が4,992.4haであった。(表 2.7.1-1)

今後も、衛星画像解析手法等の最新技術を用いた定期的な藻場・干潟の分布状況の把握が必要である。

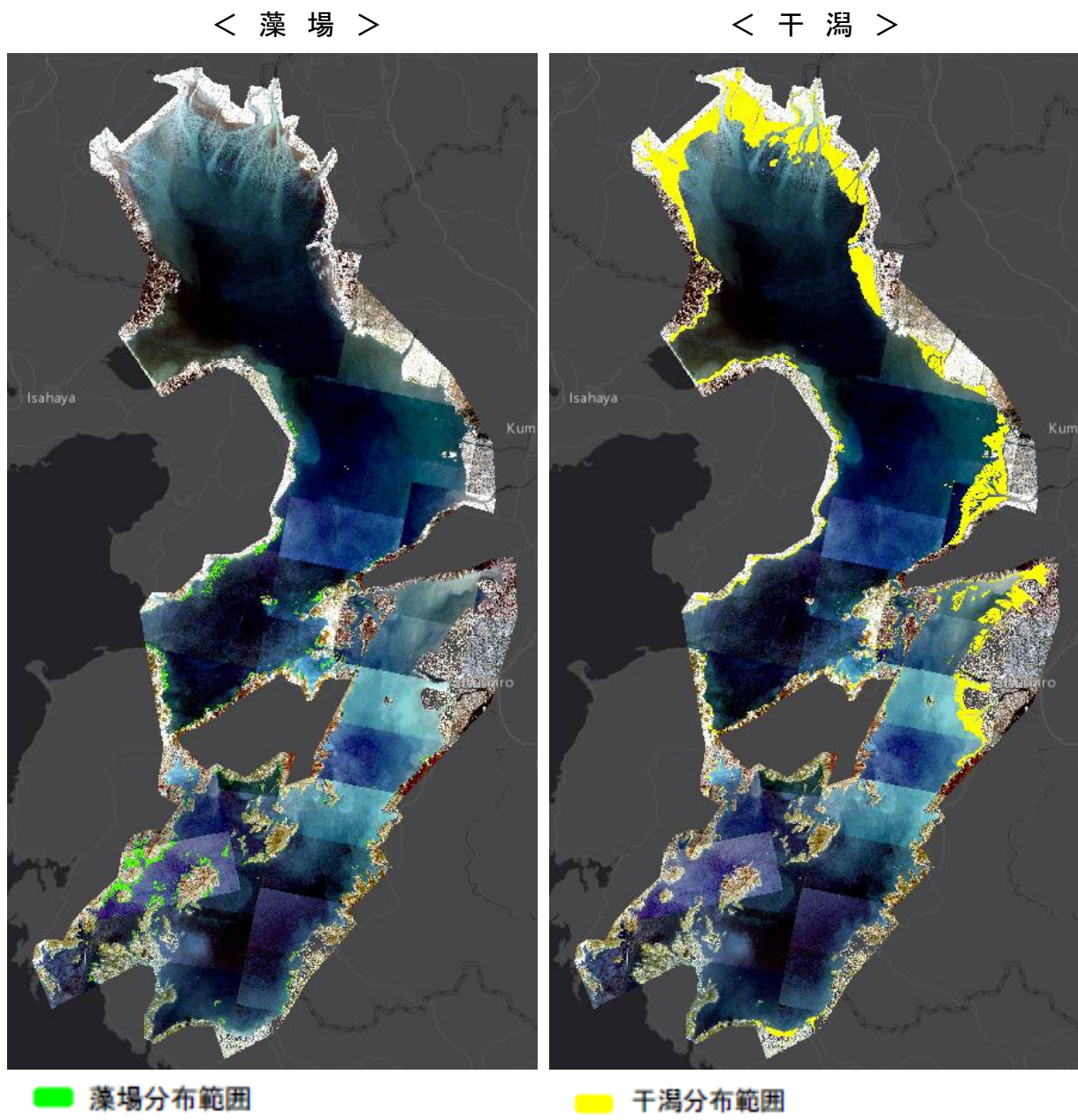


図 2.7.1-1 有明海・八代海における藻場・干潟分布図(左:藻場、右:干潟)

出典:環境省(2020)「有明海・八代海等総合調査評価委員会 第6回海域環境再生方策検討作業小委員会資料」

表 2.7.1-1 有明海・八代海における藻場・干潟面積

海域	藻場面積(ha)	干潟面積(ha)
有明海	1,456.8	18,799.3
八代海	2,385.0	4,992.4
有明海・八代海合計	3,841.7	23,791.7

※小数点第2位以下を四捨五入しているため、合計値が合致しない場合がある。

出典:環境省(2020)「有明海・八代海等総合調査評価委員会 第6回海域環境再生方策検討作業小委員会資料」

一方で、藻場・干潟の分布状況の経年変化を把握するには、既往調査(第5回自然環境保全基礎調査(環境庁・1997(平成9)年度))と同様の手法で調査する必要がある。このため、2018(平成30)年度から2019(令和元)年度において、有明海・八代海の一部エリアを対象にヒアリング調査による藻場・干潟の分布状況の把握も行われている。

ヒアリング調査結果によると、既往調査に比べ、藻場が約15%、干潟が約5%増加した(表2.7.1-2)が、一部エリアの集計結果である点、エリアによっては藻場・干潟が減少している点、調査時期による差異がある点に留意が必要である。

増加の要因としては、漁業管理や再生活動等(藻場)、土砂堆積(干潟)が挙げられ、減少の要因としては、水温の上昇や食害等(藻場)、出水による土砂流出等(干潟)が挙げられるが、詳細は不明であり、今後、要因分析が必要である。

表 2.7.1-2 ヒアリング調査による藻場・干潟の面積の経年変化

海域		既往知見 (第5回自然環境 保全基礎調査) (ha)	ヒアリング調査 (ha)	経年変化 (%)
藻場	有明海	786	863	109.8
	八代海	521	645	123.8
藻場合計		1,308	1,508	115.3
干潟	有明海	17,765	18,819	105.9
	八代海	2,661	2,794	105.0
干潟合計		20,606	21,613	104.9

※小数点以下を四捨五入しているため、合計値が合致しない場合がある。

また、経年変化の割合は四捨五入した後の値で試算した。

出典:環境省(2020)「有明海・八代海等総合調査評価委員会 第6回海域環境再生方策検討作業小委員会資料」

なお、藻場・干潟の保全・再生に関する取組や、自然海岸の状況に関しては、新たな知見は得られていない。

2.7.2 海洋ごみ

日本の沿岸には有明海、八代海等を含め、毎年、多くのごみが生物の生息環境を含めた沿岸域に漂着しており、有明海、八代海等においても、国、地方公共団体、関係者が連携し、流木等の海洋ごみの回収・処理等が行われている。ここでは、環境省と国土交通省で把握している海洋ごみの回収量に限定して整理する。

環境省では、地方公共団体での海洋ごみの回収・処理に財政的支援を行い、2020(令和2)年度には、有明海で約1,744t、八代海で約996tの海洋ごみの回収・処理が行われた(図2.7.2-1)。

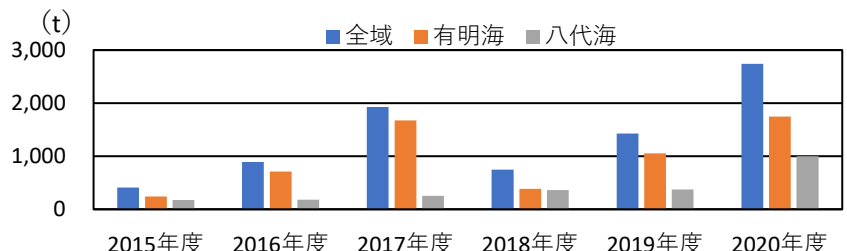


図 2.7.2-1 有明海・八代海における海洋ごみの回収量の推移

出典:環境省資料

また、国土交通省九州地方整備局熊本港湾・空港整備事務所では、海洋環境整備船を配備し、有明海・八代海における海面清掃を行っており、2020(令和2)年度には有明海で372m³、八代海で1,734m³のごみが回収された(図 2.7.2-2)。

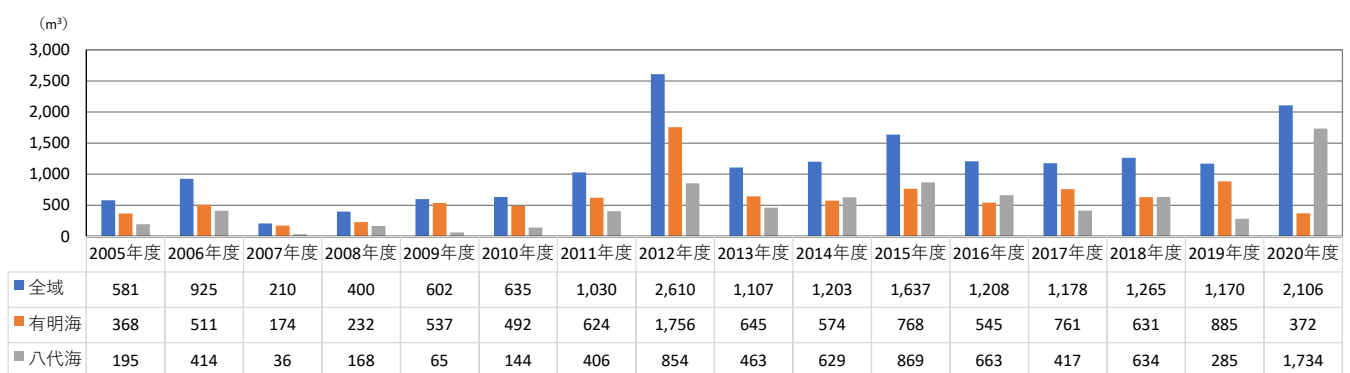


図 2.7.2-2 有明海・八代海における国の海洋環境整備船(海輝・海煌)によるごみ回収量の推移

出典:国土交通省九州地方整備局熊本港湾・空港整備事務所資料

なお、「令和2年7月豪雨」による有明海・八代海への漂流物流入を受けて、海洋環境整備船「海輝」「海煌」「がんりゅう」の3隻のほか、災害協定団体、沿岸県や漁業者団体が連携し、漂流物の回収が令和2年7月4日～31日に実施され、当該28日間で15,883m³の漂流物が回収された。この回収量のうち「海輝」「海煌」の回収量は、図2.7.2-2に示す2020年度のごみ回収量に含まれている。

2.7.3 まとめ

藻場・干潟は、水質浄化や生物多様性の維持等多様な機能を有し、良好な水環境を維持する上で重要な役割を果たしている。

衛星画像解析手法による有明海・八代海の藻場・干潟面積は、有明海で藻場が1,456.8ha、干潟が18,799.3ha、八代海で藻場が2,385.0ha、干潟が4,992.4haであった。今後も、衛星画像解析手法等の最新技術を用いた定期的な藻場・干潟の分布状況の把握が必要である。

また、2018(平成30)年度から2019(令和元)年度において実施したヒアリング調査結果によると、既往調査(1997(平成9)年度)に比べ、藻場が約15%、干潟が約5%増加

していたが、一部エリアの集計結果である点、エリアによっては藻場・干潟が減少している点、調査時期による差異がある点に留意が必要である。増加の要因としては、漁業管理や再生活動等(藻場)、土砂堆積(干潟)が挙げられ、減少の要因としては、水温の上昇や食害等(藻場)、出水による土砂流出等(干潟)が挙げられるが、詳細は不明であり、今後、要因分析が必要である。

海洋ごみについては、国、地方公共団体、関係者が連携し回収・処理等が行われている。漂流物の発生量は、その年の豪雨等の有無に影響を受けると考えられ、航行船舶の安全確保及び海洋環境保全のために、引き続き連携した取組が必要である。

参考文献

- 1)環境省(2020)「有明海・八代海等総合調査評価委員会 第6回海域環境再生方策検討作業小委員会資料」
- 2)国土交通省九州地方整備局熊本港湾・空港整備事務所資料
- 3)国土交通省九州地方整備局報道発表資料

2.8 赤潮

2.8.1 赤潮の発生状況

赤潮は主に微細藻類が異常増殖することにより、海水が変色する現象を総称する。赤潮の発生そのものは自然現象であるが、その発生頻度や規模は全海域の富栄養化の進行に伴って変化することが指摘されており¹⁾、東京湾、伊勢湾、瀬戸内海では COD、T-N 及び T-P の流入に対する水質総量削減、赤潮発生の監視が行われている。

図 2.8.1-1 に有明海、八代海、橘湾における赤潮の発生件数を示した。有明海では 1998 年頃から、八代海では 1998～2000 年頃から赤潮の発生件数が増加しており、2000～2020 年までの平均発生件数(有明海 35.8 件/年、八代海 15.9 件/年)は 1970～1980 年代(有明海 15.0 件/年、八代海 8.0 件/年)のおよそ 2 倍となっている。

なお、赤潮発生は原則として海域における着色現象を集計したものであるが、1998～2000 年以降は、着色を伴わないものであっても被害(特にノリの色落ち被害)に応じて赤潮発生として扱われるため、過去と比較する場合、同じ微細藻類の出現状況であっても発生件数が多く計上されている可能性があることに留意する必要がある。

有明海における海域への直接負荷量を含めた COD、T-N 及び T-P の汚濁負荷量(データは資料編に記載)は、直近 5 年間(2014～2019 年度)は 1975～1980 年度と比較して、COD で 74%、T-N で 65%(底質由来最小値の場合)、T-P で 66%に減少しており、赤潮発生件数の増加時期である 1990 年代後半から減少し、現在は横ばい傾向となっており、汚濁負荷量と赤潮発生件数の間に長期的な連動性はみられない。

八代海における海域への直接負荷量を含めた汚濁負荷量については、直近 5 年間(2014～2019 年度)は 1975～1980 年度と比較して、COD は 61%に減少したが、T-N 及び T-P については 1990 年代中頃から増加し 2006、2009 年度頃に最大となり、直近 5 年間は 1975～1980 年度と比較して T-N で 126%(底質由来最小値の場合)と高く、T-P では 92%(底質由来最小値の場合)程度となっている。八代海での赤潮の発生件数についても、1998 年以降増加し、1997 年以前の 2 倍程度と高い発生状態が続いている、負荷量の増加と赤潮発生件数との関連性について留意が必要である。

橘湾は 1991 年に 9 件、1990 年と 1993 年に 6 件の赤潮発生がみられたが、ほとんどの期間は 3 件/年前後で推移しており、増減傾向は認められない。2016 年～2020 年にかけて赤潮発生はみられなかった。

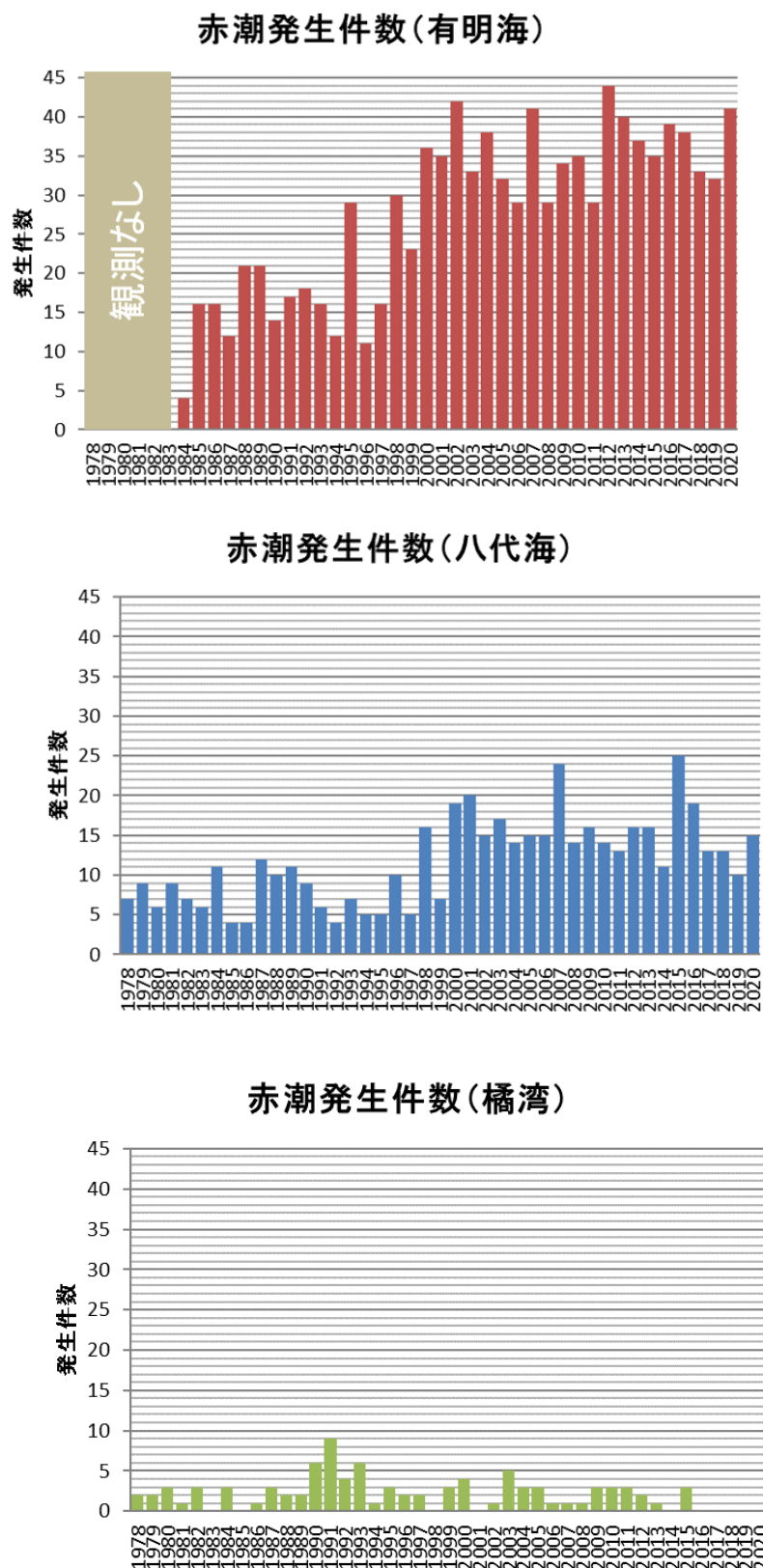


図 2.8.1-1 有明海、八代海及び橘湾における赤潮発生件数の推移

出典:水産庁九州漁業調整事務所「九州海域の赤潮(昭和 53 年～令和 2 年)」をもとに環境省が作成した

2.8.2 赤潮(種類別)の特徴について

有明海・八代海等で発生する赤潮生物の例を図 2.8.2-1 に示す。

赤潮生物は、種類によってその生理的・生態的性質や水産生物への影響も異なることから、種類ごとの赤潮発生の状況、赤潮による漁業被害の概況を以下のとおり整理した。なお、種類ごとの特徴や赤潮発生状況、漁業被害等の詳細は資料編に記載した。

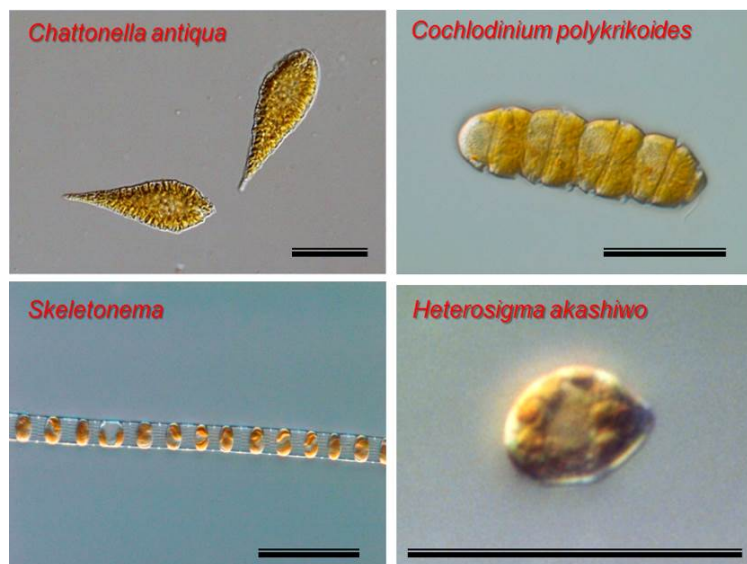


図 2.8.2-1 有明海・八代海等で発生する赤潮プランクトンの顕微鏡写真(黒棒:50 μm)

(1) 構成種の推移

図 2.8.2-2 に有明海、八代海及び橘湾における赤潮の構成種数の推移を示した。なお、1件の赤潮は複数種で構成されることが多いため、赤潮の発生件数と構成種数とは必ずしも一致しないことに留意することが必要である。有明海側では全期間を通じて珪藻による赤潮の発生頻度が全体の半数程度を占めるなど高く、渦鞭毛藻やラフィド藻がこれに続く。ラフィド藻による赤潮は 1988 年頃まではほとんど確認されていなかったが(有明海における *Chattonella* 属赤潮の初検出は 1984 年)、その後徐々に増加し、1998 年頃から、渦鞭毛藻と匹敵する頻度まで増加している。有明海で発生する代表的なラフィド藻は *Heterosigma akashiwo* と *Chattonella* 属(*C. antiqua*, *C. marina* 及び *C. ovata*)である。珪藻や渦鞭毛藻についても、1998 年頃から件数が増加していることが分かる。全体の構成割合について、1970~1980 年代と比較してラフィド藻の割合が増加した以外、基本的に構成種の大きな変化は認められない。

八代海では 1998~2000 年頃から赤潮の発生件数が増加しているものの、渦鞭毛藻やラフィド藻の割合は 6 割程度と大きく変化していない。1991 年から 1995 年にかけて一時的に珪藻による赤潮が確認されないなど比率が低下しているものの、構成種の長期的な変動はほとんどみられない。

橘湾では渦鞭毛藻による赤潮が主体であり、1990年代の初頭に弱い発生件数のピークが認められる以外、特に長期的な増加や減少傾向は認められない。なお、6～7年おきに発生しているラフィド藻赤潮は *Chattonella* 属である。

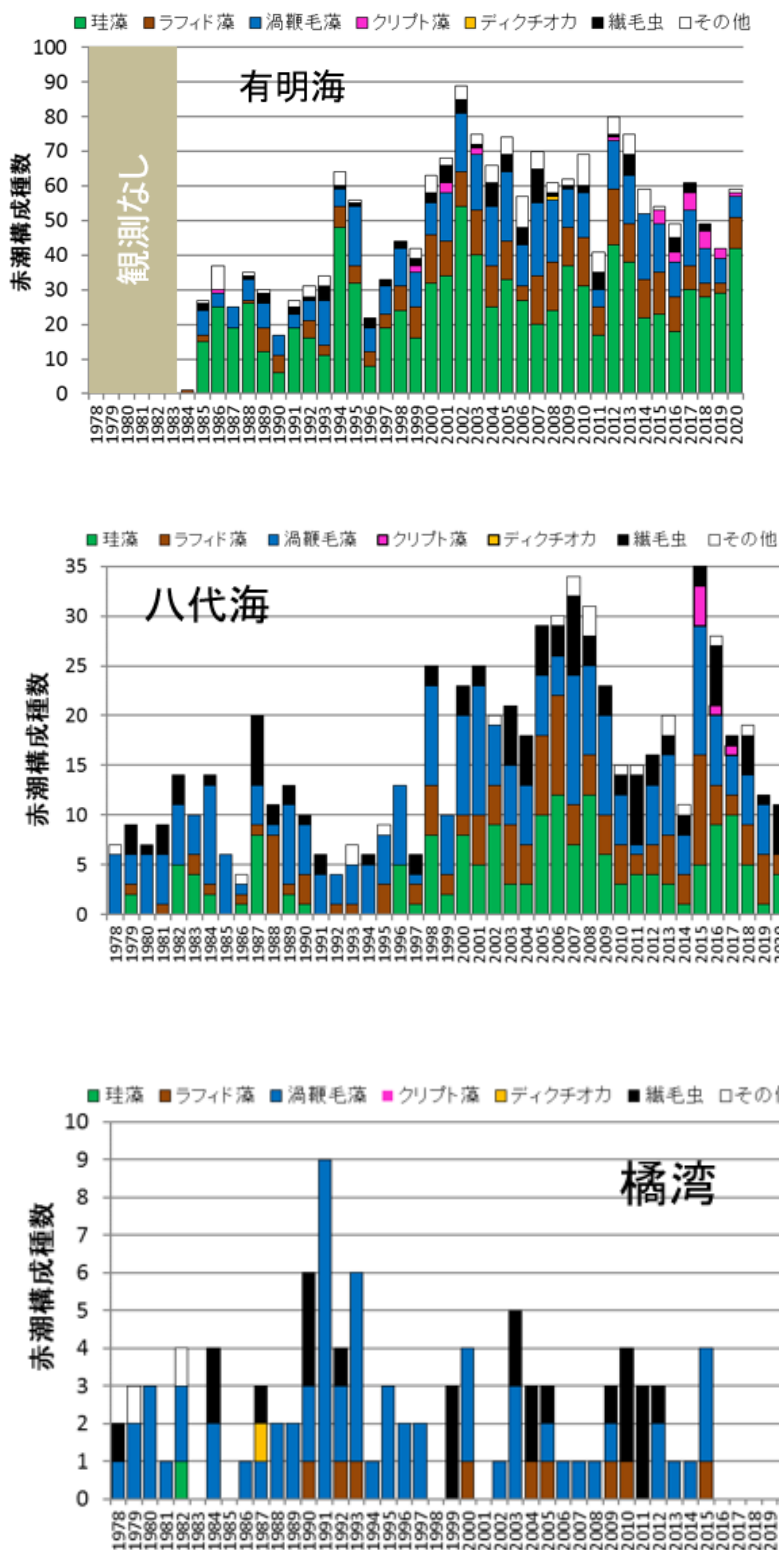


図 2.8.2-2 有明海、八代海及び橘湾における赤潮構成種数の推移

出典：水産庁九州漁業調整事務所「九州海域の赤潮(昭和 53 年～令和 2 年)」をもとに環境省が作成した

2.8.3 有明海における赤潮による漁業被害(ノリ養殖等)

有明海における赤潮被害の年間発生件数は、1998 年から 2003 年まではそれ以外の期間のおよそ 2 倍の件数と高い傾向であったが、2005 年以降は横ばいである(図 2.8.3-1)。原因プランクトン別にみると、年による変動が大きいものの、主に珪藻によるノリの色落ち被害件数が多く発生している。

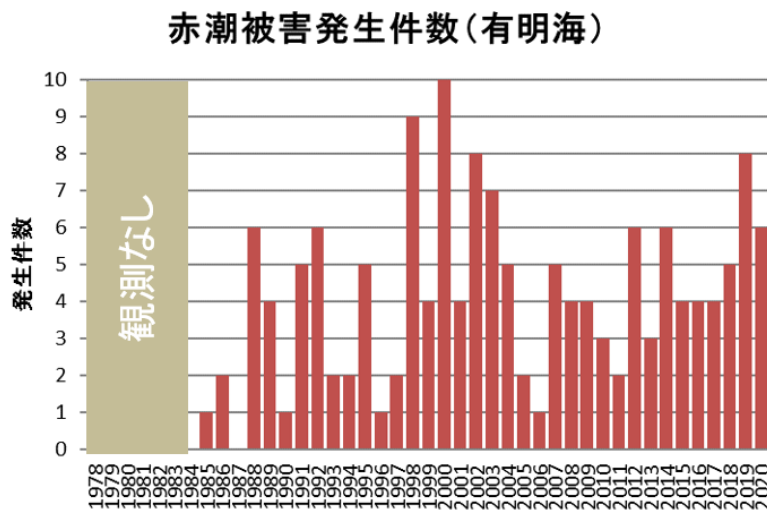


図 2.8.3-1 有明海において漁業被害をもたらした赤潮発生件数(年間)の推移

出典:水産庁九州漁業調整事務所「九州海域の赤潮(昭和 53 年～令和 2 年)」をもとに環境省が作成した

(1) 有明海における夏期の赤潮

有明海における赤潮被害発生件数は 2011 年から 2020 年まで海域毎のデータを整理すると、赤潮は A1 海域で最も多く発生し、A1 海域に隣接する A2 から A4 海域でも発生件数が多い(図 2.8.3-2)。干潟域である A1 海域を除くと、いずれの海域でも 5 ～ 9 月の夏期の赤潮発生件数が多く、夏期は珪藻のみならず、渦鞭毛藻及びラフィド藻による赤潮発生が多い。

有明海では、夏期にラフィド藻などの有害赤潮が頻発している。特に有害な *Chattonella* 属については、1998 年、2004 年、2007 年～2010 年にかけて、赤潮発生規模が大きくなっている。

夏期に発生する *Chattonella* 属や *Heterosigma* 属の赤潮は A1 ～ A3 海域及び A6 海域では夏期に高密度となる。図 2.8.3-3 に両属の赤潮発生規模(赤潮発生日数 × 最大細胞密度)の経年変化を示した。*Chattonella* 属による赤潮の発生規模は、1998 年、2004 年、2007 ～ 2010 年、2015 ～ 2016 年及び 2018 年に大きくなっており、どの程度漁獲量の減少に影響を与えたのか不明であり、赤潮だけでなく複合的な要因が推測されているが、赤潮発生海域では天然魚類のへい死などが発生している。

Heterosigma 属の発生規模は 1995 年、2002 年、2004 年、2011 年及び 2015 ～ 2016 年に大きくなっている。

ラフィド藻である *Chattonella* 属や *Heterosigma* 属は魚類等へ幅広く毒性を示すことが既に知られている。また、天然魚介類はこうした毒性の高い赤潮に遭遇すると逃避行動をとったり、不漁要因となることが知られている(荒木ら 2013)。

平成 28 年度委員会報告以降も、有明海では規模の大きな赤潮が発生している。赤潮発生状況や各種要因のデータを整理し、赤潮形成の予察技術の向上に向けた分析・検討が進められている。既に *Chattonella* 属赤潮の発生機構については、平成 18 年度委員会報告や平成 28 年度委員会報告にとりまとめられているが、本種の赤潮発生の規模が拡大すると、赤潮水塊が橘湾まで移流して養殖業へ漁業被害を引き起こすことも懸念され、赤潮発生規模の年変動要因についても知見の蓄積が求められている。

2013 年～2017 年の有明海奥部(測点 P6)及び諫早湾(測点 B3)(図 2.8.3-4)において、*Chattonella* 属(鞭毛藻)と珪藻類の出現特性の把握を行い、両者の間に競合と考えられる関係が確認された。有明海では 2009 年以降、上記期間を含めて計 9 年間の現地観測のデータがあり、*Chattonella* 属赤潮は珪藻類が衰退した隙間(niche)で発生していることが示された(図 2.8.3-5)。一般的に鞭毛藻は珪藻類よりも増殖速度が低いため、基本的に栄養競合では不利となるため、珪藻類が最大の競合者であると考えられる。一般的に種間競合関係は数値モデルでの再現が難しいとされているが、現地実測データが蓄積されていることから、これらのデータを用いて種間競合に関する調査研究を進める必要がある。

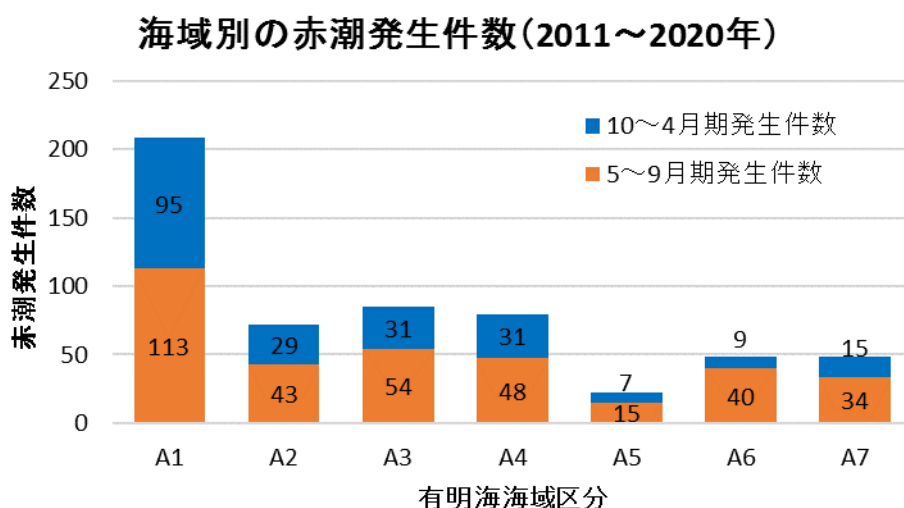
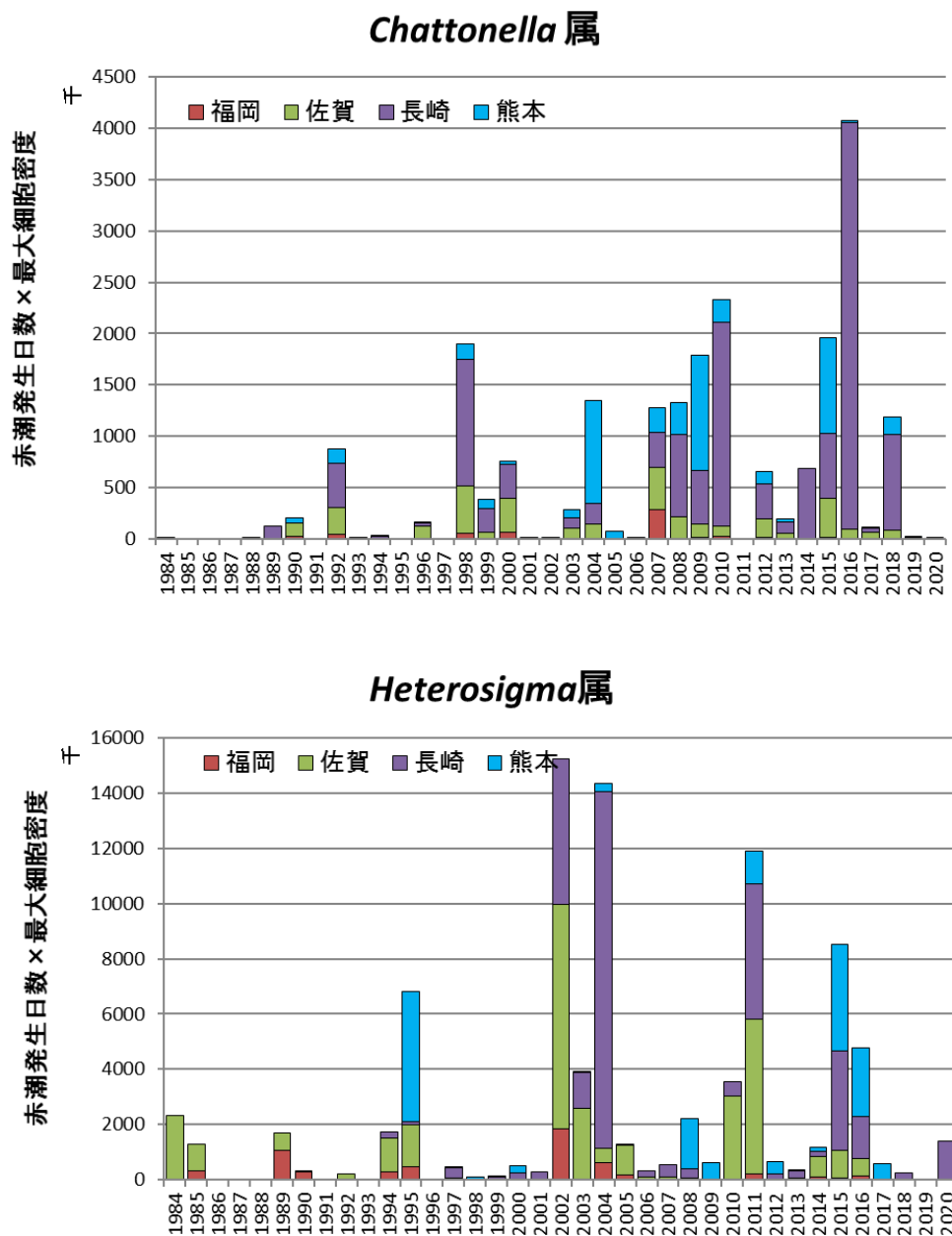


図 2.8.3-2 有明海における海域区別赤潮発生件数

出典:水産庁九州漁業調整事務所「九州海域の赤潮(平成 23～令和 2 年)」をもとに環境省が作成した



- 注) 1.用いた資料では、2000 年以降は、赤潮発生面積がほとんど「不明」であったことから、赤潮発生規模の目安として、便宜的に「赤潮発生日数(日) × 最大細胞密度(cells/mL)」を指標として採用した。
 2.当該年に複数回赤潮が発生した場合、発生毎に上記の計算を行って合計した。
 3.赤潮発生規模を便宜的に算出したものであり、当該期間を通して最高細胞密度の状態が継続していたわけではない。

図 2.8.3-3 有明海における2種有害赤潮生物の赤潮発生規模の推移

出典:水産庁九州漁業調整事務所「九州海域の赤潮(昭和 53 年～令和 2 年)」をもとに環境省が作成した



図 2.8.3-4 有明海における *Chattonella* 属と珪藻類出現特性の観測定点(2009～2017年)

出典:環境省(2020)「有明海・八代海等総合調査評価委員会 第5回水産資源再生方策検討作業小委員会資料」

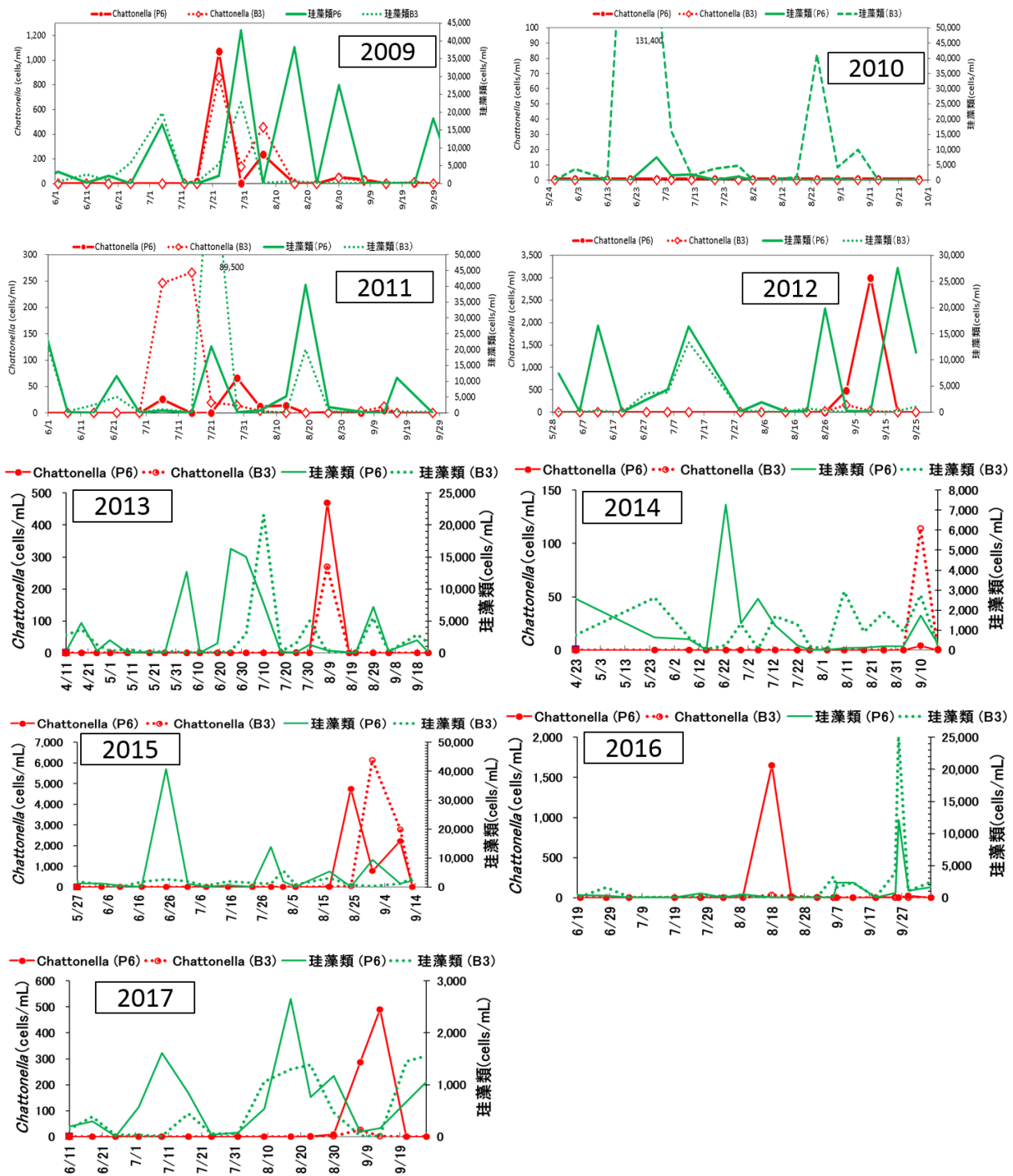


図 2.8.3-5 有明海奥部(測点 P6)及び諫早湾(測点 B3)における *Chattonella* 属と珪藻類の出現特性(水産研究・教育機関ほか 2009~2017)

出典:・水産総合研究センター、長崎県総合水産試験場、福岡県水産海洋技術センター有明海研究所、佐賀県有明水産振興センター、熊本県水産研究センター、(株)西村商会(2009・2010)「有明海における夏季の植物プランクトンの変動」平成21年度・平成22年度 赤潮・貧酸素水塊漁業被害防止対策事業報告書
 ・水産研究・教育機関、長崎県総合水産試験場「有明海における貧酸素水塊モニタリングの高度化」平成25~29年度
 ・漁場環境・生物多様性保全総合対策委託事業 赤潮・貧酸素水塊対策推進事業 九州海域での有害赤潮・貧酸素水塊発生機構解明と予察・被害防止等技術開発報告書

(2) 赤潮によるノリ養殖被害

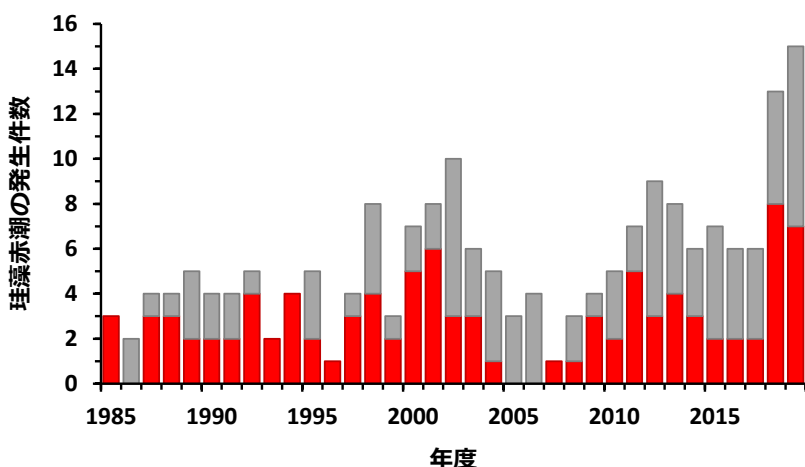
ア) 珪藻類の赤潮の発生状況と発生機構

① ノリの色落ち

ノリの「色落ち」とは、ノリ葉体の細胞中における色素(クロロフィル、フィコエリスリンなど)の生成が阻害されることによって、色調が黒色から茶褐色に変化する現象を指す²⁾(有賀, 1980)。色落ちしたノリは、商品価値が下がるため、生産枚数や生産額の減少につながる。ノリの「色落ち」のメカニズムについて、その全容は明らかとされていないが、海水中の栄養塩濃度の低下が重要な役割を果たしているであろうと考えられている^{3)、4)、5)}(藤澤ら, 2000; 白石, 2010; 村山ら, 2015、平成28年度委員会報告 図4.4.124)。

秋期から冬期の有明海湾奥部における海水中の栄養塩濃度の低下をもたらす要因のひとつとして、珪藻類による赤潮の発生が挙げられる。有明海における秋期～冬期(10月～翌3月)の珪藻赤潮の発生件数について、データが整理されている1985年度以降の推移を図2.8.3-6に示した。赤潮発生件数は、1990年代後半以降では、2002年に増加したが、その後、2005年前後に減少した。2011～2013年度に再び増加し、2014～2017年度はやや減少したが、2018年度以降、再び増加している。また、有明海における年間の赤潮発生件数のうち、秋期～冬期(10月～翌3月)の珪藻赤潮が占める割合は4分の1程度に過ぎないが、赤潮による被害件数に着目すると、その大部分は秋期～冬期(10月～翌3月)の珪藻赤潮の発生によるノリの色落ち被害である。

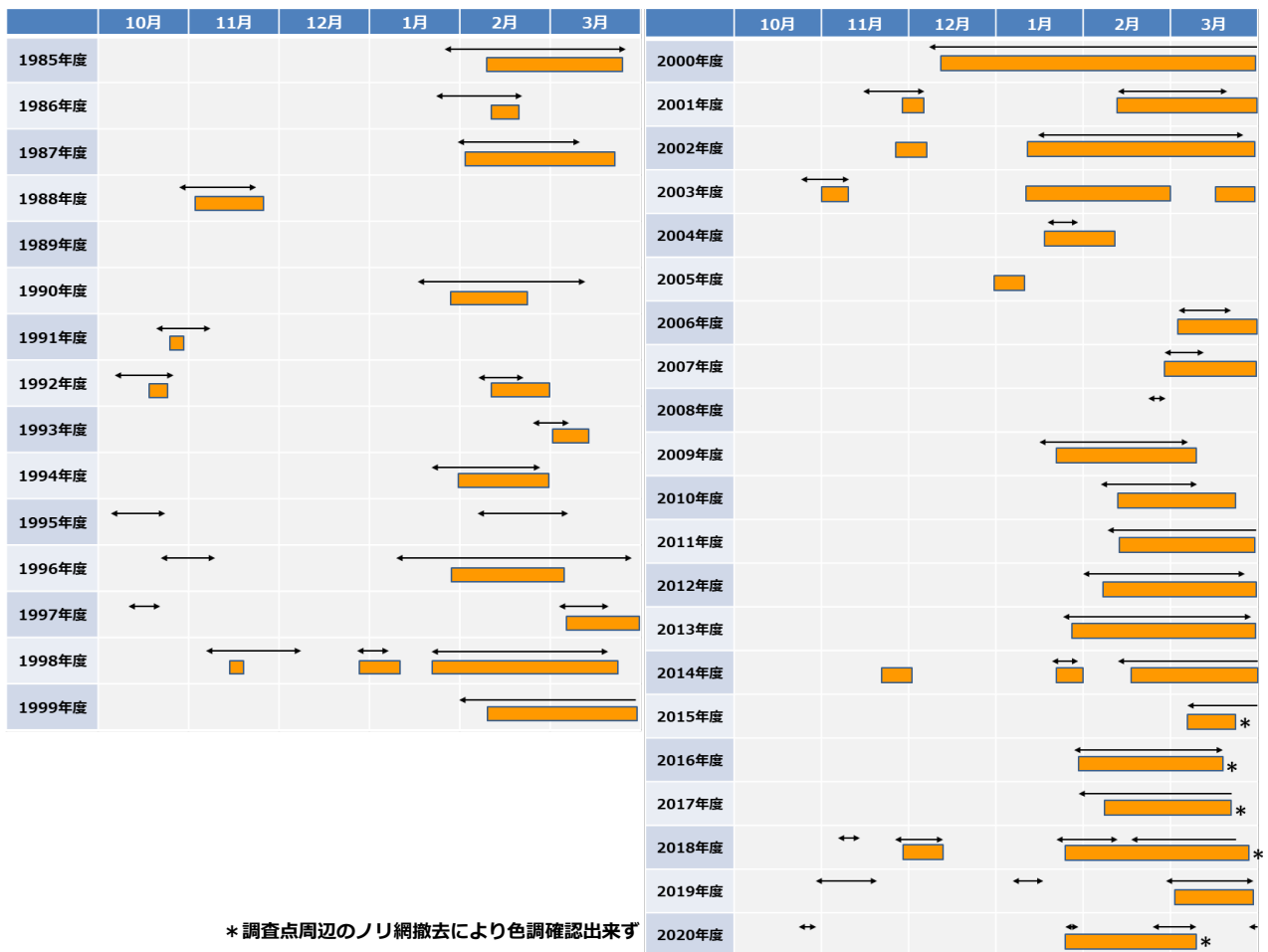
ノリの色落ちと珪藻赤潮との関係を検証するため、有明海福岡県海域を例に、1985年度以降のノリの色落ちの発生期間と珪藻赤潮の発生期間とを対比した(図2.8.3-7)。その結果、多くの場合、ノリの色落ちに先行する形で珪藻赤潮が発生しており、珪藻赤潮の発生とノリの色落ち被害とが密接に関係していることが示唆された。すなわち、珪藻類が赤潮を形成することによって、海水中の栄養塩濃度が急激に低下し、ノリ養殖に必要とされる栄養塩が減少する結果、色落ちが生じているものと推察される。



注)赤色のバーは被害件数を示す。

図 2.8.3-6 有明海における秋期～冬期(10月～翌3月)の珪藻赤潮の発生件数

出典:水産庁九州漁業調整事務所「九州海域の赤潮」をもとに環境省が作成した。



注) 終漁によるノリ網撤去期限が、1995 年度以前は 2 月中旬～3 月中旬、1996 年以降は 3/31～4/30 に設定。

図 2.8.3-7 有明海福岡県海域におけるノリの色落ちの発生期間(■)と珪藻赤潮の発生期間(矢印)

② 原因となる珪藻類

一般に、細胞あたりの栄養塩吸収量が大きい大型の珪藻類、例えば *Eucampia zodiacus* や *Coscinodiscus wailesii*、*Rhizosolenia imbricata* などの種が、ノリの色落ちを引き起こす原因プランクトンとして位置づけられている(図 2.8.3-8)。また、世界各地の沿岸・内湾域で普遍的に生息している *Skeletonema spp.* 等の小型珪藻類についても、ノリ漁期に赤潮を形成すると、色落ちを引き起こす。*Rhizosolenia imbricata*(平成 28 年度委員会報告 図 4.4.128)は、2000 年度のノリの大不作の原因種と推定されたが、それ以降、有明海において、本種による赤潮が発生したとの報告はなされていない。ここでは、*R. imbricata* を除く、これまでに有明海でノリの色落ち被害を引き起こした主要3種の珪藻類(*Eucampia zodiacus*、*Asteroplanus karianus* 及び *Skeletonema spp.*)について、それぞれの種の有明海における赤潮の発生状況と発生機構について述べる。

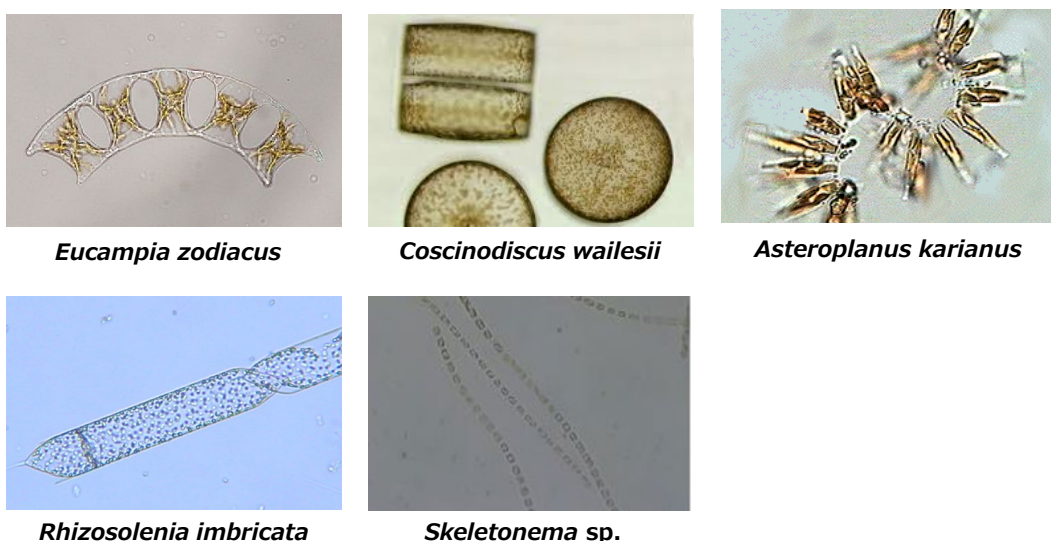


図 2.8.3-8 ノリの色落ちの原因となる主な珪藻類

(i) *Eucampia zodiacus*

Eucampia zodiacus は、極域を除く世界中の沿岸域に広く分布し、頂軸長が 100 μm に達する大型の珪藻類で、ノリの色落ち被害が頻発している瀬戸内海東部においても重要な色落ち原因種として位置づけられていることから、水温や栄養塩に対する増殖特性など、生理・生態学的知見が精力的に収集・整理されている^{6), 7), 8), 9), 10)} (例えば、西川, 2002; 西川・堀, 2004; Nishikawa et al., 2007; Nishikawa et al., 2009; Nishikawa et al., 2011)。

有明海において、*E. zodiacus* は 1980 年代より出現が確認されており、1980 年代後半や 2000 年前後に、比較的高密度で出現していた(図 2.8.3-9)。2011 年度以降も、高密度での出現がみられており、特に 2013 年度、2018 年度及び 2019 年度の冬期には、本種による赤潮が有明海のほぼ全域で発生し、多くのノリ漁場で色落ち被害が生じた(図 2.8.3-10)。

有明海での *E. zodiacus* による赤潮の発生機構については、いまだ充分には解明されておらず、断片的な知見にとどまっている。Ito et al. (2013) は、2011 年度冬期の比較的大規模な本種による赤潮発生時の観測結果から、まず *Skeletonema* spp.などの小型珪藻類の増殖がみられ、それらが衰退した 2 月下旬から *E. zodiacus* の細胞密度が急激に増加したこと、海水中の栄養塩濃度は、小型珪藻類の増殖により減少し、その後の *E. zodiacus* の増殖とともに急速に低下したことを報告している¹¹⁾ (平成 28 年度委員会報告 図 4.4.130)。また、観測当初に沖合域の底層に分布していた *E. zodiacus* は、濁度が低下する小潮期の後に、細胞密度が増加する傾向がみられたことから、光環境の改善が海水中で沈降しつつある *E. zodiacus* が赤潮のレベルまで個体群を拡大する要因のひとつであると推察した(平成 28 年度委員会報告 図 4.4.131、図 4.4.132)。

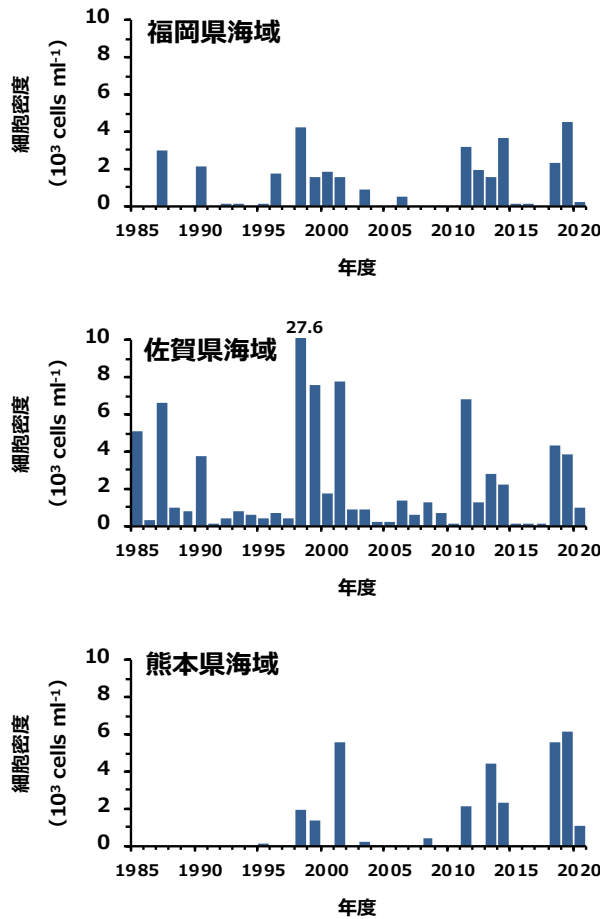


図 2.8.3-9 有明海福岡県海域、佐賀県海域及び熊本県海域における *Eucampia zodiacus* の最高細胞密度の経年変化

出典:環境省(2015)「有明海・八代海等総合調査評価委員会 生物・水産資源・水環境問題検討作業小委員会(第10回)」

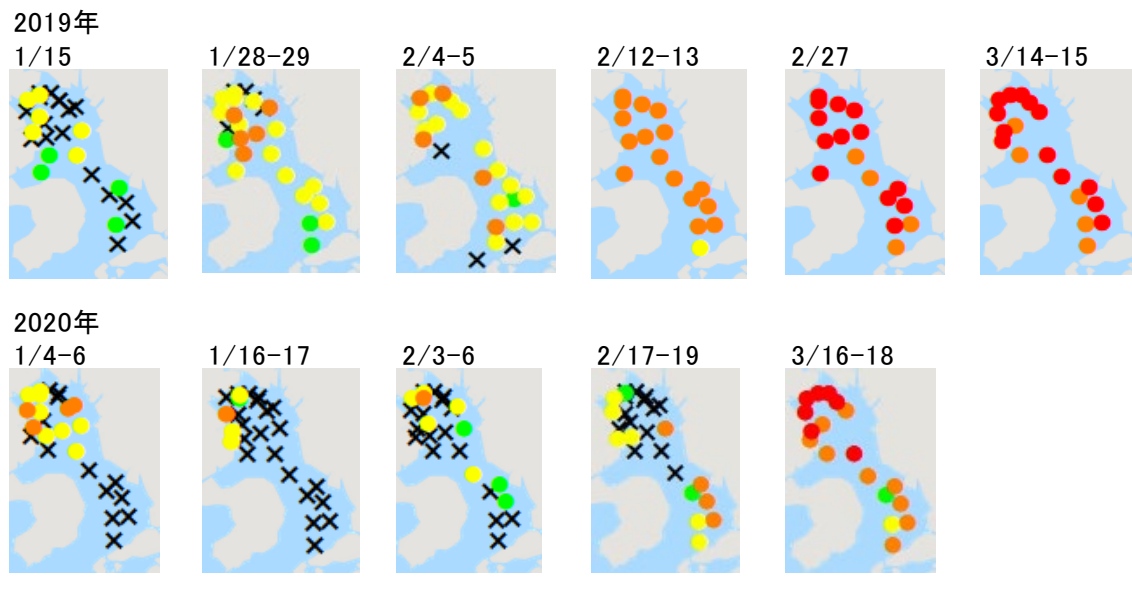


図 2.8.3-10 *Eucampia zodiacus* の出現状況の変化(2019年1月～3月及び2020年1月～3月)

出典:水産・研究教育機構水産技術研究所が運営する赤潮分布情報をもとに環境省が作成した

(ii) *Asteroplanus karianus*

Asteroplanus karianus は、有明海や噴火湾などの海域で分布が確認されている中型(細胞長 16~68 μm)の珪藻類で、休眠期細胞の復活とその後の増殖は、高水温よりも低水温の方が至適であること、効率的に増殖するには窒素源が豊富に存在する環境が必要であること、他の珪藻より低い光強度を利用可能などが明らかにされている^{12), 13), 14)}(松原ら, 2014; Yamaguchi et al., 2014; Shikata et al., 2015)。

有明海佐賀県海域における *A. karianus* による赤潮の発生状況を見ると、1980~2000 年代前半においても出現が認められていたが、2007 年度~2014 年度に、単独で、かつ高密度の赤潮を形成した(図 2.8.3-11)。また、本種による赤潮の形成とノリの色落ち被害との関係を比較してみると、赤潮の発生海域の拡大にともない、ノリの色落ち被害も拡大していく様子が明瞭に認められる(平成 28 年度委員会報告 図 4.4.134)。一方で、本種は、有明海において、これまで佐賀県海域以外の海域で赤潮を形成した報告はなく、きわめて赤潮の発生海域が限定されていることも本種による赤潮の特徴である。

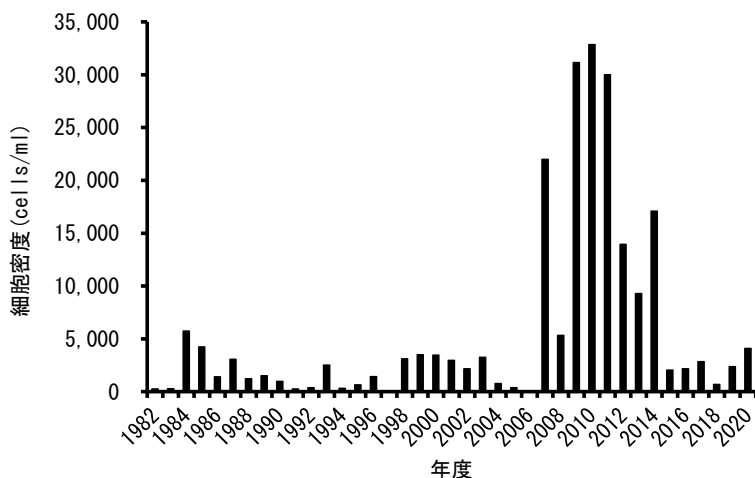
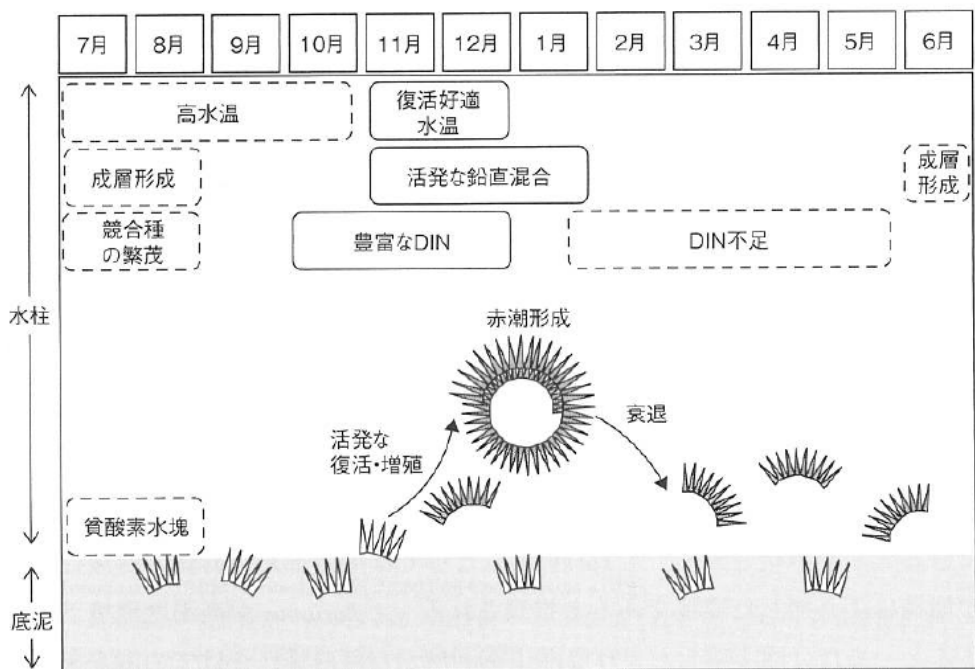


図 2.8.3-11 有明海佐賀県海域における *Asteroplanus karianus* の最高細胞密度の変動

出典:佐賀県有明水産振興センターによる調査結果をもとに環境省が作成した

現在のところ、*A. karianus* による赤潮の発生が、有明海の佐賀県海域において、2007 年度~2014 年度に、単独で高密度の赤潮を形成した要因は不明である。ただし、これまでの研究から、本種は水温及び全天日射量が年間で最低となる時期に赤潮を形成する傾向にあること(平成 28 年度委員会報告 図 4.4.135)、鉛直混合期に細胞密度が増加する傾向にあること(平成 28 年度委員会報告 図 4.4.136)などが明らかとなっており、本種による赤潮の発生には、水塊の鉛直混合や低水温、高栄養塩濃度などの環境条件が寄与している可能性が示唆される。これまでの知見から想定される *A. karianus* の赤潮発生機構の概念図が図 2.8.3-12 のように示されている(松原 2016)。また、ブルームピークの時期が水温 10°C を下回った後の初めての大潮期に続く小潮期であることから、

水温変動予測と潮汐表の活用からブルームピーク時期の予察の可能性が示されている¹⁵⁾(松原ら 2016)。



注)1.実線の囲みは好適な要因、破線の囲みは不適な要因を示す。

2.貧酸素水塊について試験データではなく、負の影響を想定。

図 2.8.3-12 *Asteroplatus karianus* の赤潮発生機構の概念図

出典:松原賢(2016):有明海の新たなノリ色落ち原因珪藻 *Asteroplatus karianus*, 有害有毒プランクトンの科学,今井一郎・山口峰生・松岡數充(編),恒星社厚生閣,pp. 252-257

(iii) *Skeletonema* spp.

有明海では、*Skeletonema* 属による赤潮の発生は一年を通してみられるが、季節により赤潮の構成種は異なることが示唆されている¹⁶⁾(山田ら 2017)。しかしながら、*Skeletonema* 属の種分類は、光学顕微鏡では判断出来ない微細な形態が基準となることから、モニタリング調査では *Skeletonema* spp.として扱われているのが現状である。

有明海での *Skeletonema* 属による赤潮の発生機構については充分に解明されておらず、知見も一部の海域に限られている。奥部海域では、冬季に発生する赤潮は、奥西部の河口域が初期増殖域となっていること、河川から栄養塩が供給される河口感潮域が増殖に重要であること、干潮時の河口沖合域が珪藻の増殖場として機能していること、水温の低下と水柱の透過光量の増加がブルーム形成に重要であることが示されている^{17)、18)}(山口ら 2017; 松原ら 2018; Yamaguchi et al., 2019; 山口ら 2021、図 2.8.3-13、図 2.8.3-14)。また、現地観測データと数値シミュレーション手法から、秋期～冬期の奥部海域では、奥西部は密度流の未発達により水塊が滞留し、*Skeletonema* 属等の植物プランクトンの増殖に好適な環境が形成され、奥東部は一級河川からの浮

力負荷によって密度流が発達し、海水交換が促進され、植物プランクトンにとって増殖しにくい環境が形成されていることが示されている(南浦・山口 2019、図 2.8.3-15)。

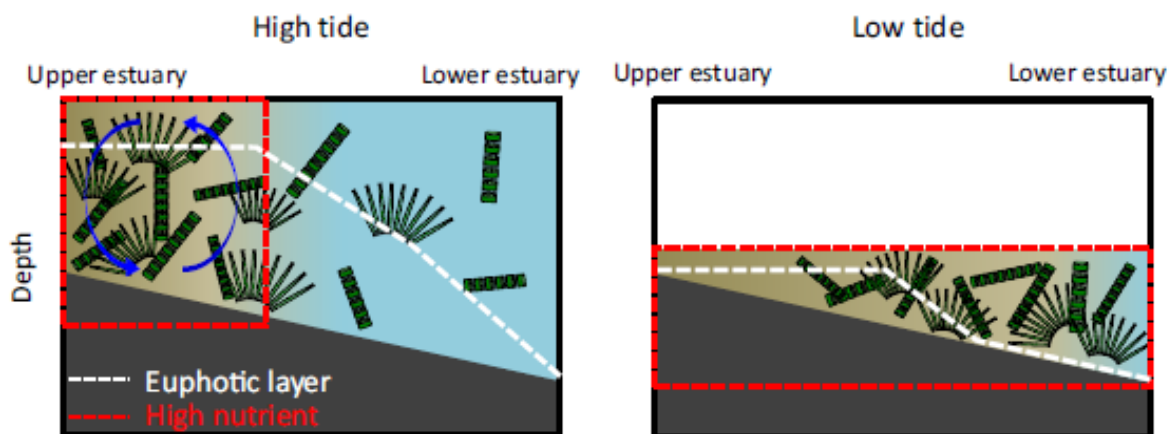


図 2.8.3-13 河口域の満潮時(左)及び干潮時(右)における水塊と珪藻の挙動に関する模式図

出典: Yamaguchi, A., Ota, H., Mine, T. (2019): Growth environment of diatoms in turbid water in the inner western part of Ariake Bay during winter, Journal of Oceanography, Vol. 75, pp.463–743.

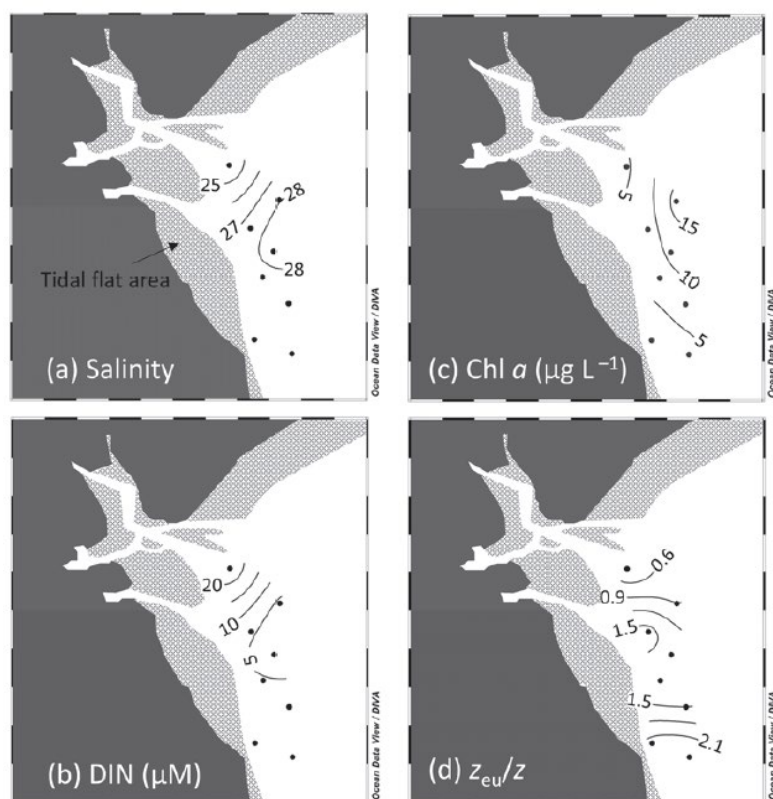


図 2.8.3-14 佐賀県塩田川及び鹿島川の河口沖合域における干潮時の塩分、溶存無機態窒素濃度、クロロフィル a 濃度、有光層/水深比の水平分布

出典: 山口 聖, 太田洋志, 津城啓子, 三根崇幸(2021) : 有明海湾奥高濁度域で観察される冬季珪藻ブルームの消長を制御する物理化学的要因, 沿岸海洋研究, Vol. 59, pp.1-10.

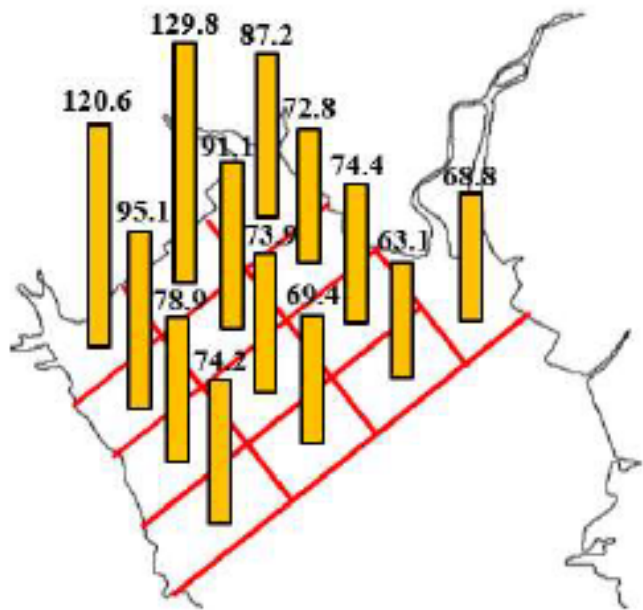


図 2.8.3-15 秋期～冬期の有明海奥部海域の各小領域における滞留時間分布
(hour)

出典:南浦修也, 山口 創(2019):冬季有明海奥部におけるノリ色落ち原因藻 *Skeletonema* spp., *Eucampia zodiacus*, *Asteroplanus karianus* の増殖と物理環境特性, 土木学会論文集 B2, 第 75 号, pp.991-996

2.8.4 八代海における赤潮による漁業被害(魚類養殖等)

八代海における赤潮被害の年間発生件数は、1988～1990年、1998～2010年及び2015年に発生件数が多く、2011から2014年にかけては被害が発生していない(図2.8.4-1)。原因プランクトン別にみると、*Chattonella* 属(ラフィド藻)と *Cochlodinium polykrikoides*(渦鞭毛藻)による被害件数が多く、養殖ブリやトラフグ等のへい死により特に大きな被害が発生している。

赤潮被害発生件数(八代海)

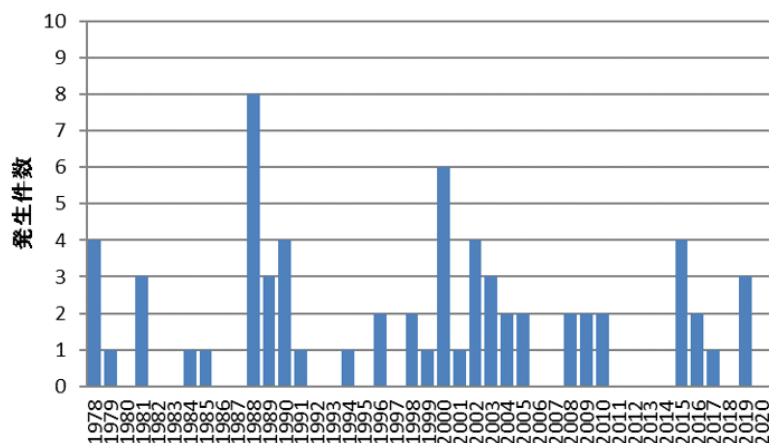


図 2.8.4-1 八代海において漁業被害をもたらした赤潮発生件数(年間)の推移

出典:水産庁九州漁業調整事務所「九州海域の赤潮(昭和 53 年～令和 2 年)」をもとに環境省が作成した

(1) 八代海における夏期の赤潮

八代海における *Chattonella* 属等の赤潮発生について、熊本県海域及び鹿児島県海域の発生日数、最大細胞密度をそれぞれ図 2.8.4-3、図 2.8.4-4 に示した。

Chattonella 属は熱帯域から温帯域に広く分布する凡世界種であり、国内では三重県海域、瀬戸内海、舞鶴湾、有明海、八代海、鹿児島湾で赤潮の発生が知られている。瀬戸内海では 1970～1980 年代に赤潮が猛威をふるったが、近年、1990 年以降は減少傾向である。1980 年代中頃から有明海や八代海で本種の赤潮が増加し、現在、国内でも本種の赤潮発生が多い海域となっている。

Chattonella 属による赤潮は、1998 年まで散発的で規模も小さく、漁業被害はほとんど発生していなかった。しかし、2003 年以降に発生頻度・規模が急激に拡大し、2008 年、2009 年、2010 年、2016 年、2019 年に、ブリ類、マダイ、シマアジ、カンパチ、トラフグを中心に漁業被害をもたらした。

Cochlodinium 属(ほとんどが *C. polykrikoides*)に関しては、1978～1981 年、1991 年、2000～2007 年と一定期間ごとにまとまった出現を示していた(図 2.8.4-5)。特に 2000～2003 年にかけての熊本県海域における赤潮発生頻度・規模は大きく、2000 年の赤潮発生では魚類養殖魚へ 39.8 億円(ブリ類、マダイ、シマアジ、トラフグを中心に 217 万尾へい死)の漁業被害をもたらした。2015 年にはブリが 8,800 尾へい死してい

る。なお、*Chattonella* 属と *Cochlodinium* 属による魚類のへい死について、鰓機能の障害による窒息死という症状について共通している。

八代海においては、*Cochlodinium* 属と比べると *Karenia* 属による赤潮の発生頻度は少なく、1989 年、2000 年、2009 年、2015 年及び 2016 年に発生している。1989 年の赤潮では 2.5 億円(ブリ類、マダイ、シマアジ、トラフグを中心に 15.4 万尾へい死)の漁業被害が発生している。2015 年と 2016 年は連続して本種の赤潮が発生し、養殖ブリがそれぞれ 7,800 尾及び 3,000 尾へい死した。

Heterosigma 属(ほとんどが *H. akashiwo*)による赤潮は散発的に発生しているが、上記3種に比較すると毒性が低く、単年度の赤潮発生で 1 億円超える大きな漁業被害は発生していない。

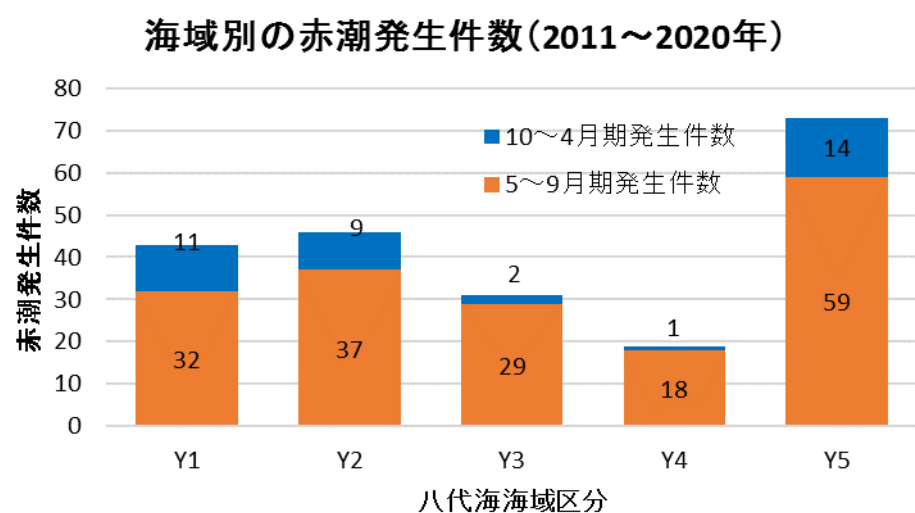


図 2.8.4-2 八代海における海域別赤潮発生件数

出典：水産庁九州漁業調整事務所「九州海域の赤潮（平成 23～令和 2 年度）」をもとに環境省が作成した

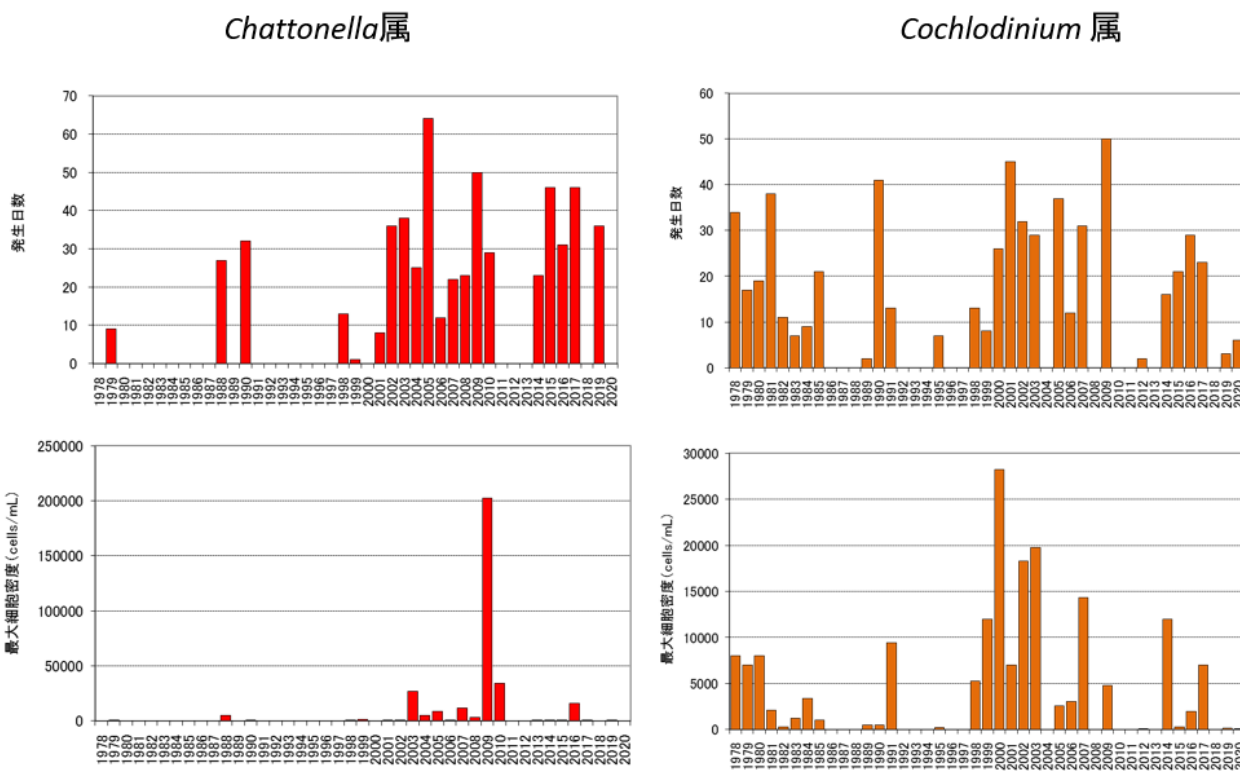


図 2.8.4-3 八代海(熊本県海域)における *Chattonella* 属と *Cochlodinium* 属による赤潮
発生日数、最大細胞密度の経年変化

出典:九州漁業調整事務所「九州海域の赤潮(昭和 53 年～令和 2 年)」をもとに環境省が作成した

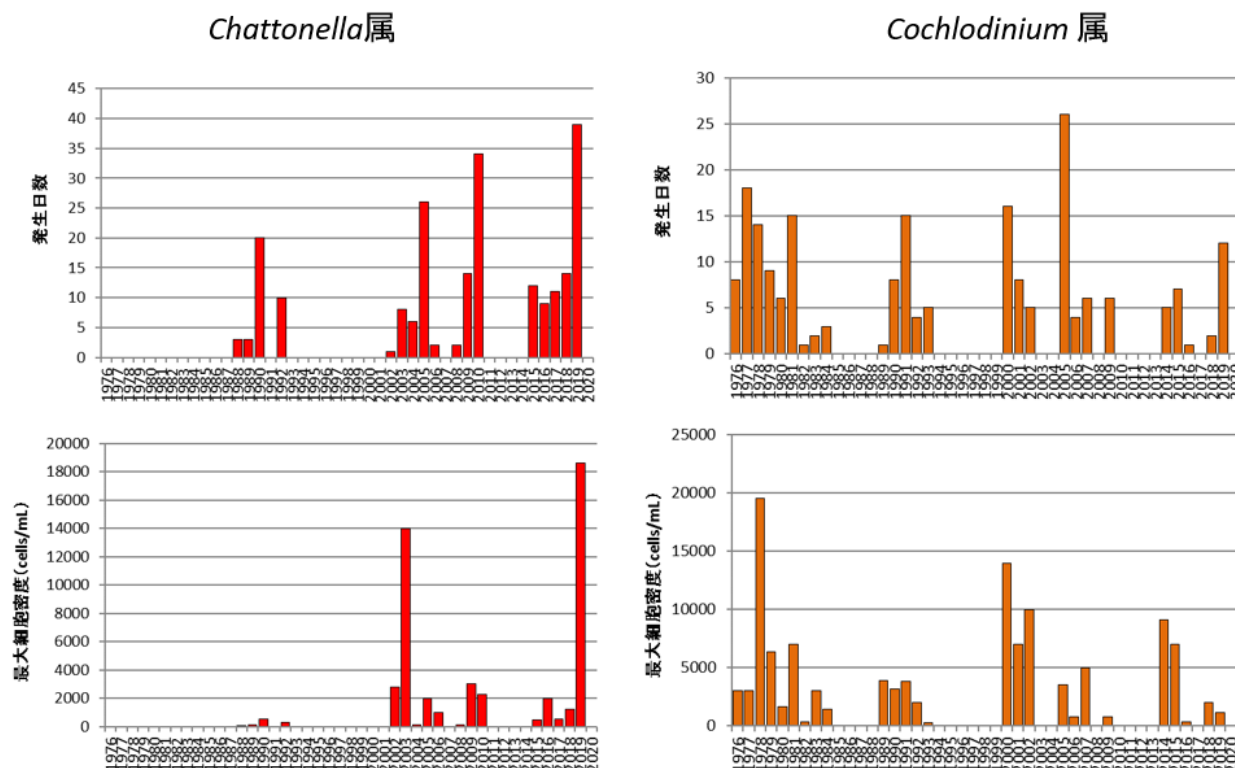
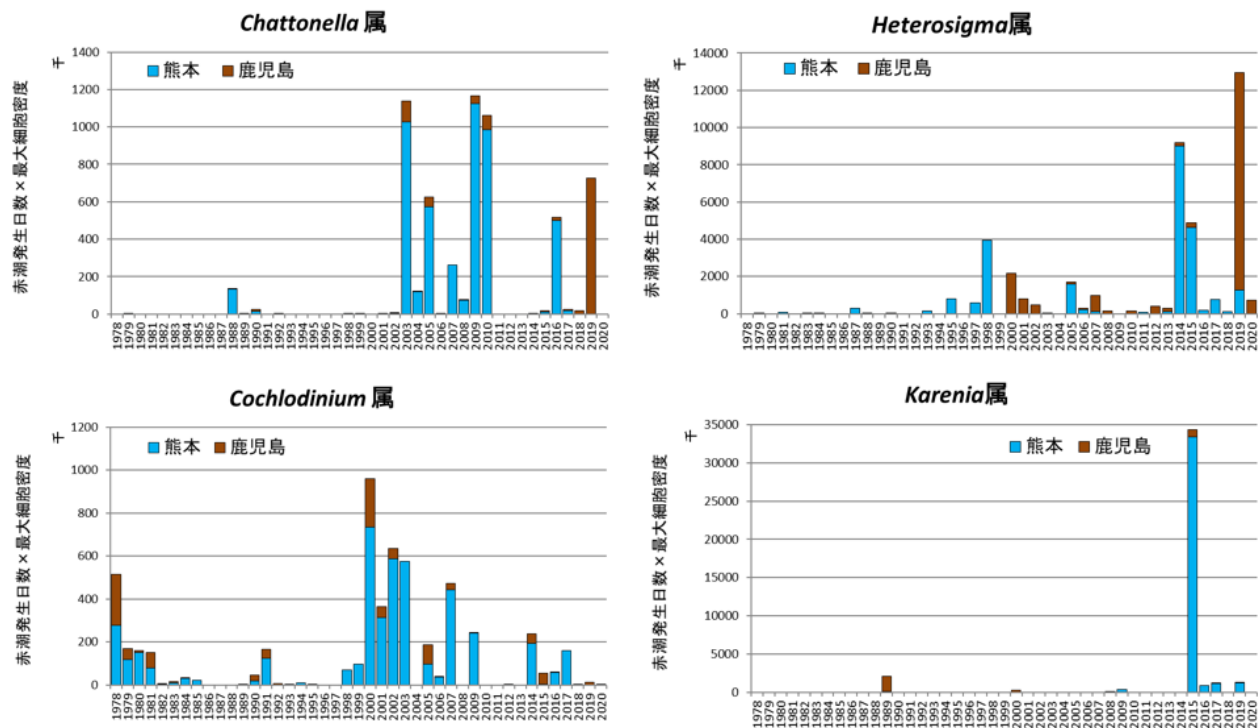


図 2.8.4-4 八代海(鹿児島県海域)における *Chattonella* 属と *Cochlodinium* 属による赤潮発生日数、最大細胞密度の経年変化

出典:九州漁業調整事務所「九州海域の赤潮(昭和 53 年～令和 2 年)」をもとに環境省が作成した



- (注) 1.用いた資料では、2000年以降は、赤潮発生面積がほとんど「不明」であったことから、赤潮発生規模の目安として、便宜的に「赤潮発生日数(日)×最大細胞密度(cells/mL)」を指標として採用した。
 2.当該年に複数回赤潮が発生した場合、発生毎に上記の計算を行って合計した。
 3.赤潮発生規模を便宜的に算出したものであり、当該期間を通して最高細胞密度の状態が継続していたわけではない。

図 2.8.4-5 八代海における有害赤潮発生規模の推移

出典：水産庁九州漁業調整事務所「九州海域の赤潮（昭和53年～令和2年）」をもとに環境省が作成した

(2) 赤潮による魚類養殖被害

漁業被害が最も大きい *Chattonella* 属の赤潮発生状況とその原因・要因について、平成 28 年度委員会報告後に発生した 2016 年～2019 年のデータを中心に整理した結果を述べる。

図 2.8.4-6 に、八代海で *Chattonella* 属赤潮による漁業被害が発生した 2016 年、2017 年、2019 年の最高細胞密度の分布状況を示した。八代海における養殖漁業の中心は Y5 海域である八代海西南部沿岸海域（熊本県海域）、Y4 海域を中心とした南部海域（鹿児島県）及び Y3 海域である中央海域の島嶼沿岸部（御所浦島周辺）であり、これらの漁場付近で 100～1,000 cells/mL 以上の *Chattonella* 属が出現した場合に漁業被害が生じる傾向がみられる。2016 年、2019 年は主漁場で 1,000 cells/mL を超える高い値（最大 15,000 cells/mL）を示し、大きな被害を及ぼした。平成 28 年度委員会報告で示した 2010 年の *Chattonella* 属赤潮発生時のブリ被害発生状況と同様に、漁場付近で 100 cells/mL 以上の赤潮が発生した場合にブリへの漁業被害が発生している。2017 年は熊本県海域で被害が報告されたが、鹿児島県では報告がなされなかった。鹿児島県の主漁場である長島の北部、獅子島の南部における *Chattonella* 属の細胞密度は、ほとんどが 100 cells/mL 未満であったためと思われる。